

Surveillance de la Qualité des Plans d'Eau des Bassins Rhône Méditerranée Corse

- Suivi 2015 -

Rapport de données et d'interprétation
REtenue de SAINT-PIERRE-COGNET (Isère)



Août 2016



Papier recyclé



Propriétaire du rapport : Agence de l'eau Rhône Méditerranée Corse
2-4, Allée de Lodz
69363 LYON Cedex 07

Interlocuteur : M. Loïc IMBERT

Titre : Surveillance de la qualité des plans d'eau des bassins Rhône Méditerranée Corse – Suivi 2015 – Rapport de données et d'interprétation – Retenue de Saint-Pierre-Cognet (Isère).

Mots-Clés : Agence de l'eau Rhône Méditerranée Corse, Programme de surveillance, DCE, suivi 2015, plans d'eau, Isère, Drac, retenue de Saint-Pierre-Cognet.

Numéro de rapport : 2804FB16
Date : Août 2016
Statut du rapport : Rapport définitif

Auteurs : Arnaud OLIVETTO
François BOURGEOT

Travail de laboratoire: Bianca TOUCHART et Jeanne RIGAUT (Phytoplancton)
Emmanuel MICHAUT (Oligochètes)

Nombre d'ex. édités : 1
Nb de pages (+annexes) : 28 (+42)

Réalisation :



GREBE eau - sol - environnement
Groupe de Recherche et d'Etude: Biologie et Environnement
23, rue St-Michel - 69007 LYON
Tél.: 04 72 71 03 79 - Fax: 04 72 72 06 12
courriel: contact@grebe.fr

SOMMAIRE

PREAMBULE	6
1. INTRODUCTION	7
1.1 ORGANISATION DU RAPPORT	7
1.2 TYPOLOGIE NATURELLE DES PLANS D'EAU	7
2. PROTOCOLES DE PRELEVEMENT ET D'ANALYSE	8
2.1 PHYSICO-CHIMIE DES EAUX ET DU SEDIMENT	8
2.1.1 CAMPAGNES DE MESURES	8
2.1.2 PRELEVEMENTS	8
2.1.3 PARAMETRES MESURES	9
2.2 COMPARTIMENTS BIOLOGIQUES	11
2.2.1 PHYTOPLANCTON	11
2.2.2 OLIGOCHETES (IOBL)	11
3. CONTEXTE GENERAL ET CARACTERISTIQUES DU PLAN D'EAU	13
4 PHYSICO-CHIMIE DES EAUX ET DES SEDIMENTS	16
4.1 PHYSICO-CHIMIE DES EAUX	16
4.1.1 PROFILS VERTICAUX	16
4.1.2 PARAMETRES DE MINERALISATION	17
4.1.3 RESULTATS DES ANALYSES PHYSICO-CHIMIQUES DES EAUX HORS MICROPOLLUANTS	18
4.1.4 MICROPOLLUANTS MINERAUX	19
4.1.5 MICROPOLLUANTS ORGANIQUES	20
4.2 PHYSICO-CHIMIE DES SEDIMENTS	20
4.2.1 PHYSICO-CHIMIE DES SEDIMENTS HORS MICROPOLLUANTS	20
4.2.2 MICROPOLLUANTS MINERAUX	22
4.2.3 MICROPOLLUANTS ORGANIQUES	23
5 COMPARTIMENTS BIOLOGIQUES	24
5.1 PHYTOPLANCTON	24
5.2 OLIGOCHETES	26
ANNEXES	29
LISTE DES MICROPOLLUANTS ANALYSES SUR EAU	31
LISTE DES MICROPOLLUANTS ANALYSES SUR SEDIMENTS	41
COMPTE RENDU DES CAMPAGNES DE PRELEVEMENTS PHYSICO-CHIMIQUES ET PHYTOPLANCTONIQUES	45
RAPPORT D'ANALYSE PHYTOPLANCTON	60
RAPPORT D'ANALYSE OLIGOCHETES	66

PREAMBULE

Cette étude de diagnostic écologique de plans d'eau a été réalisée dans le cadre du programme de surveillance établi lors de la mise en œuvre de la directive cadre européenne sur l'eau (DCE)¹, prescrivant une atteinte de « bon état » écologique des masses d'eau en 2015. En application de cette dernière, il est demandé à chaque état membre d'évaluer l'état écologique des masses d'eau d'origine naturelle ou le potentiel écologique des masses d'eau fortement modifiées et artificielles.

L'agence de l'eau Rhône Méditerranée Corse a mandaté le bureau d'études GREBE pour l'acquisition de données écologiques sur un certain nombre de masses d'eau de plans d'eau (MEPE) de plus de 50 hectares du nord du bassin. Les prestations ont été réalisées en application de l'arrêté du 27 juillet 2015² établissant le programme de surveillance de l'état des eaux.



Retenue de Saint-Pierre-Cognet le 03/06/15

¹ DCE. Cadre pour une politique communautaire dans le domaine de l'eau. Directive 2000/60/CE.

² Ministère de l'environnement, du développement durable et de l'énergie. Arrêté du 27 juillet 2015 modifiant l'arrêté du 25 janvier 2010 relatif aux méthodes et critères d'évaluation de l'état écologique, de l'état chimique et du potentiel écologique des eaux de surface pris en application des articles R. 212-10, R. 212-11 et R. 212-18 du code de l'environnement.

1. INTRODUCTION

1.1 Organisation du rapport

Les résultats du suivi de l'année 2015 sont présentés sous la forme d'un rapport de données brutes et d'interprétation commentée des résultats, présentant également les méthodologies mises en œuvre et les rapports de campagnes de terrain.

1.2 Typologie naturelle des plans d'eau

La typologie naturelle des plans d'eau utilisée dans le rapport est définie dans l'arrêté du 12 janvier 2010³ relatif aux méthodes et aux critères à mettre en œuvre pour délimiter et classer les masses d'eau. La typologie est basée sur l'origine des plans d'eau (naturelle ou anthropique), leur hydro-écorégion⁴, la forme de leur cuvette et leur fonctionnement hydraulique. Les formes théoriques de cuvettes lacustres sont présentées *Figure 1*, et sont définies comme suit :

- *Forme L* : lac peu profond, zone littorale largement prépondérante, stratification thermique peu étendue et/ou instable (lac polymictique).
- *Forme P* : lac profond, stratification thermique stable (lac monomictique ou dimictique) et une zone littorale étendue, la cuvette pouvant être symétrique ou asymétrique.
- *Forme LP* : lac ayant à la fois une zone profonde stratifiée stable (monomictique ou dimictique) et une zone littorale étendue, la cuvette pouvant être symétrique ou asymétrique.

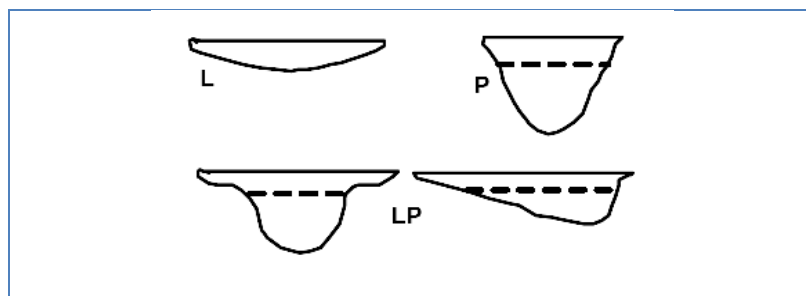


Figure 1 - Formes théoriques de la cuvette lacustre. La ligne pointillée indique la limite théorique de profondeur maximale de la thermocline en été (Figure issue de la circulaire 2005/11).

³ Ministère de l'environnement, de l'énergie, du développement durable et de la mer, en charge des technologies vertes et des négociations sur le climat. Arrêté du 12 janvier 2010 relatif aux méthodes et aux critères à mettre en œuvre pour délimiter et classer les masses d'eau et dresser l'état des lieux prévu à l'article R. 212-3 du code de l'environnement. Journal Officiel de la République Française.

⁴ Wasson, J. G., Chandesris, A., Pella, H., & Blanc, L. (Juin 2002). *Les hydro-écorégions de France métropolitaine, approche régionale de la typologie des eaux courantes et éléments pour la définition des peuplements de référence d'invertébrés*. Cemagref.

2. PROTOCOLES DE PRELEVEMENT ET D'ANALYSE

2.1 Physico-chimie des eaux et du sédiment

2.1.1 Campagnes de mesures

Quatre campagnes de mesure sont réalisées au cours de l'année :

- *campagne 1*: entre mi-février et fin mars (voire plus tard selon l'altitude), correspondant à la période de brassage et d'homothermie des eaux;
- *campagne 2*: mois de mai, correspondant au début de la période de stratification thermique;
- *campagne 3*: fin juillet / début août, correspondant à la période estivale;
- *campagne 4*: mois de septembre/octobre, correspondant à la fin de la période de production végétale et à la période de stratification maximale du plan d'eau, avant le refroidissement de la masse d'eau.

2.1.2 Prélèvements

2.1.2.1 Prélèvements d'eau

Les prélèvements d'eau sont réalisés au niveau du point de plus grande profondeur du plan d'eau. Dans le cas de retenues artificielles, une zone de sécurité interdite à la navigation, généralement matérialisée par une ligne de bouées, peut être présente à proximité des ouvrages. La zone de prospection se limite alors à l'extérieur de cette dernière. Deux profondeurs sont échantillonnées :

- la **zone euphotique**: elle correspond à 2,5 fois la transparence de l'eau. Cette dernière est mesurée à l'aide d'un disque de Secchi de 20 centimètres de diamètre, à quarts alternativement blanc ou noir.
 - un premier échantillonnage est destiné aux analyses phytoplanctoniques, physico-chimiques classiques et dosage de macropolluants. Il est réalisé avec une bouteille à prélèvement verticale de type Van Dorn de 1,2 litre en téflon. Les prélèvements unitaires sont répartis de manière à échantillonner l'ensemble de la zone euphotique, puis homogénéisés dans un seau de 10 litres en polyéthylène haute densité (PEHD). Si la zone euphotique est trop importante pour être intégralement prélevée à la bouteille Van Dorn (*i.e.* volume échantillonné trop important), l'échantillon est réalisé à l'aide d'un tuyau souple en silicone, lesté à une extrémité et dont la longueur permet le prélèvement de l'intégralité de la zone euphotique. L'opération est répétée jusqu'à obtention du volume nécessaire aux analyses. Le contenu est ensuite versé directement

dans les différents flaconnages ou à l'aide d'un entonnoir en PEHD dans le cas de contenants à col étroit.

- un second échantillonnage destiné aux analyses de micropolluants est réalisé à l'aide une bouteille à prélèvement vertical de type Van Dorn de 1,2 litre en téflon. Les prélèvements unitaires sont répartis de manière équidistante sur l'ensemble de la zone euphotique puis homogénéisés dans un seau de 17 litres en polyéthylène haute densité (PEHD). L'opération est répétée jusqu'à obtention du volume nécessaire aux analyses. Le contenu est ensuite versé directement dans les différents flaconnages ou à l'aide d'un entonnoir en PEHD dans le cas de contenants à col étroit.
- la **zone profonde** est échantillonnée à profondeur fixe, à 1 mètre du sédiment, puis traitée de la même manière que l'échantillonnage de la zone euphotique à la bouteille Van Dorn. L'opération est répétée jusqu'à obtention du volume nécessaire aux analyses.

2.1.2.2 Prélèvements de sédiments

Les sédiments sont prélevés lors de la campagne 4 (septembre/octobre) à la benne Ekman, 15 cm x 15 cm. Le contenu de la benne est échantillonné directement à l'aide d'une petite pelle en PEHD et transvasé dans les flaconnages fournis par le laboratoire d'analyse.

2.1.3 Paramètres mesurés

Les analyses physico-chimiques de pleine eau ont été confiées au Laboratoire Santé Environnement Hygiène de Lyon (CARSO-LSEHL), et les analyses sur sédiments au Laboratoire Départemental de la Drôme (LDA 26).

2.1.3.1 Paramètres de pleine eau

Deux types de paramètres de pleine eau ont été pris en considération :

- les paramètres **mesurés in situ** à chaque campagne:
 - température, oxygène dissous (concentration et taux de saturation), pH, conductivité. Ces paramètres sont mesurés sur l'ensemble de la colonne d'eau à l'aide d'une sonde multi paramètres munie d'un câble.
 - transparence mesurée au disque de Secchi de 20 centimètres de diamètre, à quarts alternativement blanc ou noir.
- les paramètres analysés **en laboratoire** :
 - sur **prélèvement intégré** au niveau de la zone trophogène :
 - **paramètres généraux** (à chaque campagne) :

- azote Kjeldhal, ammonium, nitrates, nitrites, orthophosphates, phosphore total, carbone organique total, matières en suspension, turbidité, chlorophylle *a* et phéopigments (échantillon filtré sur site à l'aide d'une pompe à vide manuelle), silice dissoute, demande biologique en oxygène (DBO), demande chimique en oxygène (DCO);
- **paramètres de minéralisation** (1^{ère} campagne) :
 - chlorures, sulfates, hydrogénocarbonates, calcium, magnésium, sodium, potassium, dureté totale, titre alcalimétrique complet (TAC) ;
- **micropolluants** (à chaque campagne) :
 - Substances prioritaires, autres substances et pesticides en référence à l'arrêté du 27 juillet 2015 modifiant l'arrêté du 25 janvier 2010. Les micropolluants organiques ont été mesurés sur les échantillons d'eau brute et les micropolluants minéraux sur l'eau filtrée du même prélèvement.
- sur **prélèvement de fond** (à chaque campagne) : **paramètres généraux** et **micropolluants** identiques à la zone trophogène à l'exception des pigments chlorophylliens.

2.1.3.2 Paramètres du sédiment

Sur les sédiments, les quantifications ont été réalisées au cours de la quatrième campagne au niveau du point de plus grande profondeur, et prennent en compte les deux compartiments et les paramètres suivants :

- **l'eau interstitielle** : orthophosphates, phosphore total et ammonium ;
- la **phase solide** : carbone organique, azote global, phosphate total, matières organiques volatiles, granulométrie inférieure à 2 mm (argiles, limons fins et grossiers et sables fins et grossiers), aluminium, fer, manganèse, et micropolluants suivant l'arrêté du 27 juillet 2015 modifiant l'arrêté du 25 janvier 2010.

2.2 Compartiments biologiques

2.2.1 Phytoplancton

Le suivi du phytoplancton a été effectué lors de 4 campagnes selon la méthode d'Utermöhl⁵. Un prélèvement intégré est réalisé sur l'ensemble de la zone euphotique à l'aide d'un tuyau ou d'une bouteille à prélèvement (*cf.* §2.1.2.1) au droit du point le plus profond du plan d'eau. Cet échantillon est également utilisé pour la filtration *in situ* de la chlorophylle a. Les échantillons de phytoplancton sont fixés au lugol, puis stockés au réfrigérateur avant détermination et comptage des objets algaux⁶ au sein du laboratoire du GREBE.

L'inventaire et le dénombrement du phytoplancton ont été réalisés, après passage en chambre de sédimentation, sous microscope inversé. En cas de difficulté d'identification ou de fortes abondances, une vérification des diatomées (algues microscopiques siliceuses) a été réalisée en parallèle, entre lame et lamelle sous microscope droit, selon le mode préparatoire décrit par la norme NF T90-354⁷.

Les résultats sont présentés sous forme d'inventaires taxinomiques précisant le nombre de cellules dénombrées par ml, et l'abondance relative de chaque taxon.

L'indice phytoplanctonique défini par la diagnose rapide a ensuite été calculé sur la base des biovolumes spécifiques à chaque taxon et de leur abondance relative.

2.2.2 Oligochètes (IOBL)

L'IOBL, indice basé sur les communautés d'oligochètes, permet d'évaluer les potentialités des sédiments lacustres à assimiler et à recycler les substances minérales et organiques. Il s'interprète comme le « potentiel métabolique du milieu ». Il prend en compte la richesse taxinomique, les densités d'individus et le pourcentage d'espèces sensibles aux pollutions toxiques ou organiques. Bien qu'en théorie continue, la valeur de l'indice varie en général de 0 à 25. L'indice s'applique aux lacs naturels d'eau douce et aux retenues dont la profondeur atteint 5 mètres. Toutefois, il peut être appliqué aux milieux stagnants peu profonds, son interprétation devant alors être recadrée dans le contexte naturel du plan d'eau étudié^{8,9}.

⁵ AFNOR. (2006). Norme guide pour le dénombrement du phytoplancton par microscopie inversée (méthode Uthermöhl). *NF EN 15204*.

⁶ Laplace-Treyture, C., Barbe, J., Dutartre, A., Druart, J.-C., Rimet, F., Anneville, O., et al. (Septembre 2009). Protocole Standardisé d'échantillonnage, de conservation et d'observation du phytoplancton en plan d'eau, Vers. 3.3.1. INRA, Cemagref.

⁷ AFNOR. (2007). Détermination de l'Indice Biologique Diatomées (IBD). *NF T90-354 15204*.

⁸ Lafont, M. (2007). Interprétation de l'indice lacustre oligochètes IOBL et son interprétation dans un système d'évaluation de l'état écologique. *Cemagref/MEDA*.

⁹ AFNOR. (2005). Détermination de l'indice oligochètes de bioindication lacustre. *NF T 90-391*.

Les échantillons de sédiments ont été constitués sur la base de trois prélèvements élémentaires à la benne Ekman : au point de plus grande profondeur et au niveau de 2 points intermédiaires situés de part et d'autre du point profond. Un indice IOBL est déterminé pour chacune des profondeurs considérées.

L'échantillonnage peut théoriquement être réalisé à n'importe quelle saison, il est cependant conseillé d'effectuer deux campagnes de prélèvements, une lors d'une phase d'isothermie (printanière ou automnale) et une en période de stratification (estivale ou hivernale). En raison de la possible désoxygénéation des couches profondes en été, la campagne estivale correspond à la période la plus pénalisante pour la faune invertébrée benthique. Toutefois, dans le cadre de ce suivi, une seule campagne a été réalisée au printemps.



Retenue de Saint-Pierre-Cognet le 03/06/2015.

3. CONTEXTE GENERAL ET CARACTERISTIQUES DU PLAN D'EAU

La retenue de Saint-Pierre-Cognet se situe en Isère, entre Valbonnais et Trièves, sur les communes de Saint-Laurent-en-Beaumont en rive droite et Saint-Sébastien en rive gauche. Elle a été créée sur le Drac, en amont de la commune de la Mure, à 580 m d'altitude, entre la retenue du Sautet et la confluence avec la Bonne. La retenue de Saint-Pierre-Cognet reçoit une partie des eaux de cette dernière via le canal du Beaumont et également les eaux dérivées de la Jonche. La *Figure 2* place le plan d'eau sur un extrait de carte IGN. La profondeur maximale théorique affichée est de 75 m. Elle n'a été mesurée que de 38 m au plus profond en 2012 et 2015, soulignant le comblement du fond de la retenue.

L'environnement géologique est principalement calcaire, le Drac ayant creusé sa vallée dans les calcaires et les marnes jurassiques, supportant les formations morainiques anciennement rapportées au Würmien, par les glaciers. Après leur retrait, la vallée s'est comblée sur une grande épaisseur par des apports fluviaires et lacustres.

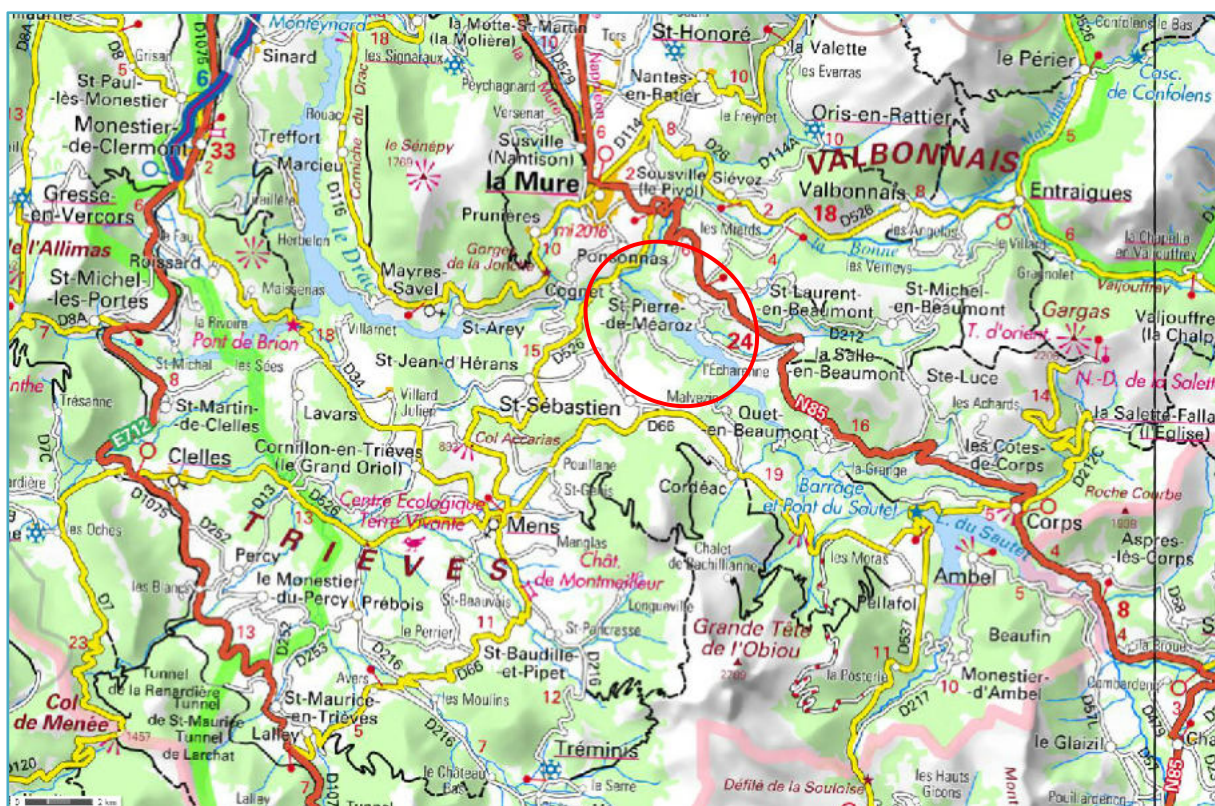


Figure 2 – Carte de localisation de la retenue de Saint-Pierre-Cognet (Isère, base carte IGN 1:200 000).

Le barrage de Saint-Pierre-Cognet s'inscrit dans l'aménagement hydroélectrique des gorges du Drac. Il est le deuxième le plus amont sur le Drac, entre les retenues du Sautet et de

Monteynard-Avignonet (*Figure 3*). Mis en service en 1957, il s'agit d'un barrage de type voûte mince, haut de 75 m et long de 130 m.

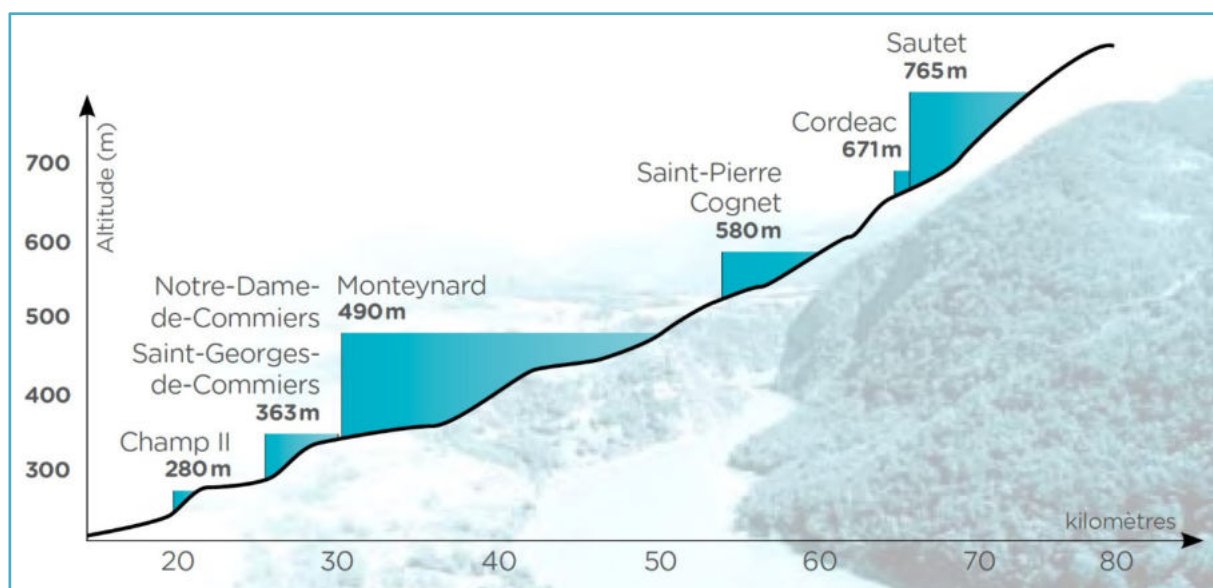


Figure 3 – Coupe longitudinale figurant les réservoirs de la chaîne du DRAC (source : plaquette EDF « Monteynard le géant du Drac », mai 2011).

Le barrage stocke les eaux du Drac qu'il reçoit de la retenue du Sautet via les chutes de Cordéac. Il reçoit également les eaux dérivées de la Bonne et de la Jonche. Il offre une réserve utile de 10 millions de m³ pour une superficie de 112 hectares.

Gérée par Électricité de France, le niveau d'eau au sein de la retenue dépend étroitement du fonctionnement du barrage du Sautet en amont et de ses propres contraintes de turbinés. Le niveau d'eau est ainsi soumis à des variations importantes, de l'ordre de plusieurs mètres, qui peuvent être journalières. Le temps de séjour de l'eau à l'intérieur de la retenue est très court, environ 9 jours.

Les turbinées maximales correspondent à la période de plus grande demande énergétique et ont donc lieu généralement en hiver et au début du printemps. Au printemps et en début d'été, le volume entrant est élevé en raison du régime nival du Drac.

L'eau du barrage est acheminée par une galerie d'aménée vers la centrale située à Saint-Jean-d'Hérans, environ 2 km plus en aval. Elle est équipée de 2 groupes Francis d'une puissance totale de 94 MW. L'eau y est turbinée avant d'être restituée au Drac, juste à l'amont de la retenue de Monteynard-Avignonet.

Bien que la production hydroélectrique soit la fonction principale de la retenue, les activités de pêche y sont également pratiquées. La retenue est classée en 2^{ème} catégorie piscicole.

Le Dévoluy et le Champsaur, avec la Haute vallée de la Romanche constituent la zone la plus arrosée des Hautes-Alpes. La pluviométrie annuelle y est proche du mètre, atteignant même

1300 mm dans certaines vallées comme le Valgaudemar, à l'est du lac de Saint-Pierre-Cognet. Des phénomènes météorologiques comme la mer de nuages, quasiment inconnus plus au sud, peuvent y être observés. Le brouillard y est également répandu. Les températures, très liées à l'altitude, dépendent également d'une plus faible durée d'ensoleillement. Le début de l'année 2015 a été marqué par des précipitations supérieures à la normale sur tout le nord des Alpes. L'été fut relativement chaud et ensoleillé, surtout en juillet. A un mois d'août toujours chaud mais moins ensoleillé, a succédé un automne plutôt frais.

La retenue de Saint-Pierre-Cognet est classée parmi les masses d'eau de type A3 au sein de la typologie nationale, soit les retenues de moyenne montagne, calcaires et profondes. Elle est incluse au sein de l'hydro-écorégion de rang 1 (HER 1) «Jura Pré-Alpes du Nord», en bordure de l'HER 1 « Alpes internes », d'où provient le Drac. Le *Tableau 1* présente les dates et types d'interventions réalisés au cours du suivi 2015.

La retenue de Saint-Pierre-de-Cognet appartient au contrôle opérationnel (CO) mis en place pour répondre aux exigences de la Directive Cadre sur l'Eau en matière de surveillance des milieux. L'objectif de ce réseau est d'évaluer l'état des masses d'eau identifiées comme risquant de ne pas atteindre leurs objectifs environnementaux et d'évaluer l'efficacité des mesures mises en œuvre. L'élément biologique macrophytes n'est pas pertinent sur ce type de plan d'eau (cf. arrêté « Surveillance » du 7 août 2015), il n'a donc pas été mis en œuvre.

Tableau 1 – Calendrier des interventions sur la retenue de Saint-Pierre-Cognet en 2015.

	Physico-chimie		Compartiments biologiques	
	eau	sédiments	Phytoplancton	IOBL
C1 15/04/2015				
C2 03/06/2015				
C3 05/08/2015				
C4 23/09/2015				



Retenue de Saint-Pierre-Cognet le 05/08/15

4 PHYSICO-CHIMIE DES EAUX ET DES SEDIMENTS

4.1 Physico-chimie des eaux

4.1.1 Profils verticaux

Les profils de mesures physico-chimiques relevés lors des quatre campagnes du suivi 2015 sont présentés *Figure 4*.

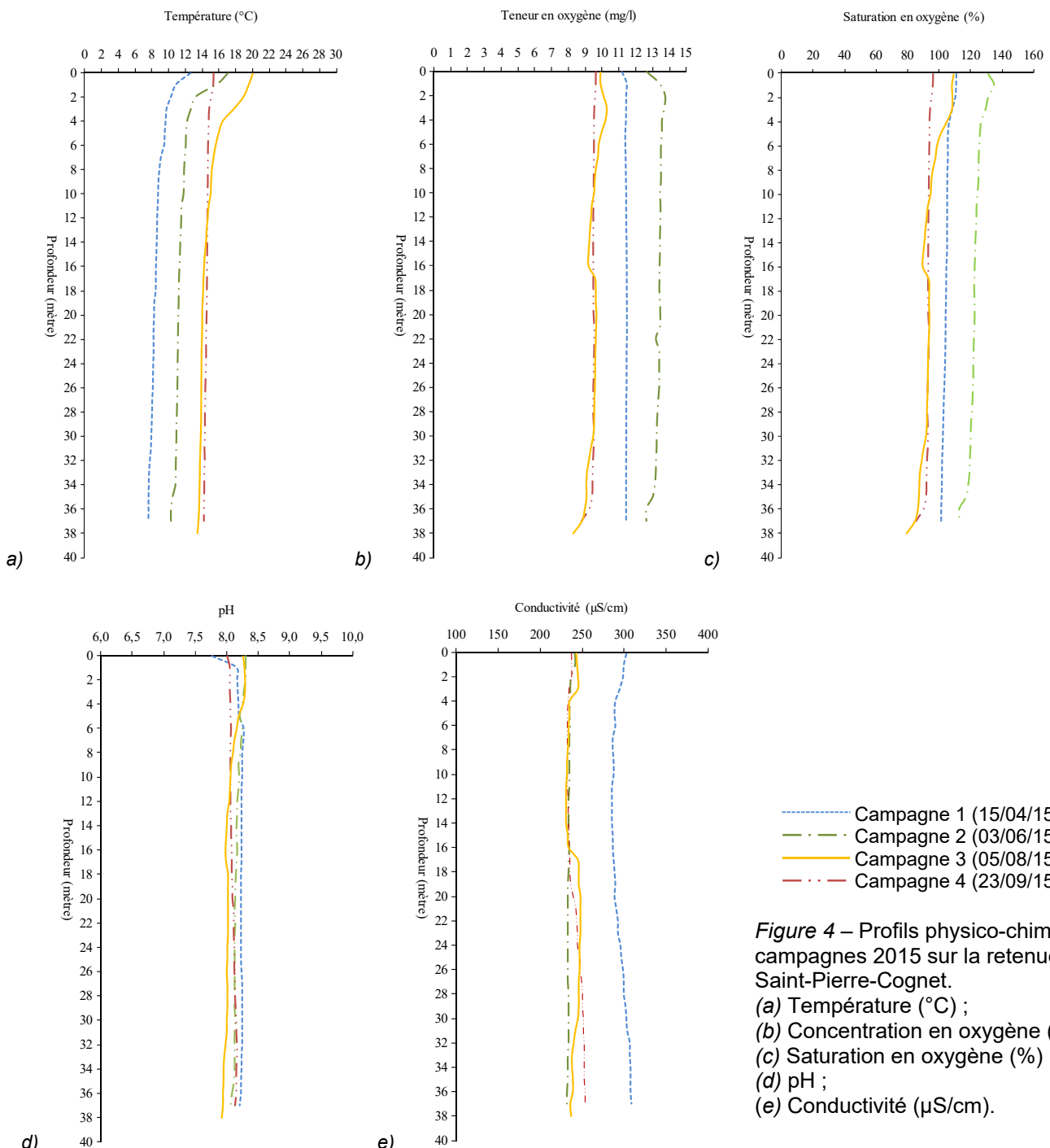


Figure 4 – Profils physico-chimiques des campagnes 2015 sur la retenue de Saint-Pierre-Cognet.
 (a) Température (°C) ;
 (b) Concentration en oxygène (mg/l) ;
 (c) Saturation en oxygène (%) ;
 (d) pH ;
 (e) Conductivité (µS/cm).

Les variations du niveau de l'eau liées aux contraintes d'exploitation de la retenue de Saint-Pierre-Cognet maintiennent une certaine homogénéité au sein de la colonne d'eau, observable sur les profils des paramètres *in situ*. Lors de chaque campagne, la retenue était pleine, avec une profondeur maximale de 38 m.

Lors des trois premières campagnes, la colonne d'eau se réchauffe progressivement d'avril à août. Les profils présentent alors à chacune de ces campagnes, un fort gradient thermique (différentiel de 4°C) au sein des 2 à 4 premiers mètres. Avec le radoucissement des températures automnales, un ensoleillement moindre et le renouvellement rapide de l'eau, les couches superficielles sont moins chaudes et la colonne d'eau est alors thermiquement homogène. Bénéficiant de température clémene, la masse d'eau est saturée en oxygène dès le mois d'avril et sursaturé en juin (entre 130% en surface et 110% au fond), reflétant le développement de la production phytoplanctonique. Celle-ci semble avoir faibli dès août (baisse globale du taux de saturation) mais l'ensemble de la masse d'eau reste relativement bien oxygénée lors des campagnes 3 et 4. Tout au long de l'année le pH est constant, oscillant entre 8 et 8,3.

La conductivité est également stable au sein de la colonne d'eau lors de chaque campagne, relevant l'absence de phénomène de relargage dans des couches profondes bien oxygénées. De 300 µS/cm en avril, elle reste stable, à environ 240 µS/cm lors des trois campagnes suivantes.

Le temps de séjour de l'eau très court (9 jours) et le marnage important et régulier de la retenue tendent à lui conférer une certaine homogénéité tout au long de l'année.

4.1.2 Paramètres de minéralisation

Les résultats des analyses concernant les paramètres de minéralisation sont présentés

Tableau 2.

Tableau 2 - Résultats pour les paramètres de minéralisation quantifiés sur le prélèvement intégré de la retenue de Saint-Pierre-Cognet (15/04/2015).

Code sandre	Paramètre	Unité	Limite de quantification	C1	
				Intégré	Fond
1327	Bicarbonates*	mg(HCO ₃)/L	6,1	139	-
1337	Chlorures*	mg(Cl)/L	0,1	3	-
1338	Sulfates*	mg(SO ₄)/L	0,2	27,1	-
1345	Dureté	°F	0,5	15,4	-
1347	TAC*	°F	0	12,4	-
1367	Potassium*	mg(K)/L	0,1	0,6	-
1372	Magnésium*	mg(Mg)/L	0,05	5,5	-
1374	Calcium*	mg(Ca)/L	0,1	52,4	-
1375	Sodium*	mg(Na)/L	0,2	2,7	-

* paramètres analysés sur eau filtrée

Avec des teneurs en calcium et bicarbonates moyennes, et une dureté de 15,4 °F, les eaux de la retenue de Saint-Pierre-Cognet peuvent être considérées comme moyennement dures. Elles traduisent l'environnement calcaire de la vallée du Drac, creusée dans les marnes et calcaires du jurassique.

4.1.3 Résultats des analyses physico-chimiques des eaux hors micropolluants

Les résultats d'analyses des paramètres généraux et des macropolluants pour la retenue de Saint-Pierre-Cognet sont présentés *Tableau 3*. Les évolutions des concentrations en pigments chlorophylliens, matières en suspension (MeS) et transparence sont fournies *Figure 5*.

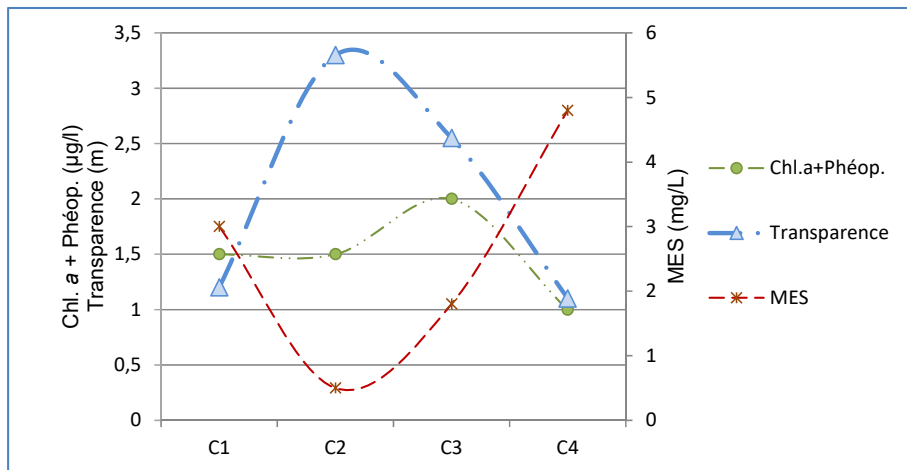


Figure 5 – Evolution des concentrations en chlorophylle a, phéopigments, matières en suspension (MeS) et transparence au cours des campagnes 2015 sur la retenue de Saint-Pierre-Cognet (<LQ 1 $\mu\text{g/l}$ = 0,5 $\mu\text{g/l}$ - <LQ 1 mg/l = 0,5 mg/l).

La concentration en pigments chlorophylliens est très faibles, inférieures à 2 $\mu\text{g/mL}$, lors des quatre campagnes. La légère augmentation en août (C3) traduit une hausse de la production phytoplanctonique qui se reflète par une augmentation des MeS et une baisse de la transparence. En C4, les concentrations en chlorophylle a et en phéopigments ne sont plus quantifiables et expliquent les valeurs de saturation en oxygène observée en C4, les plus basses observées au sein de la zone trophogène en 2015 (*Figure 4c*). La baisse de la saturation entre C2 et C3 (§4.1.1) malgré une augmentation de la concentration en phytoplancton (§ 5.1) pourrait s'expliquer par un moindre ensoleillement en août par rapport à juin et donc une diminution de l'activité photosynthétique.

Les valeurs de demande biologique sont assez faibles durant le suivi. La plus élevée est mesurée au sein de l'échantillon intégré de juin et pourrait traduire la présence d'organisme

bactériens ou d'un développement printanier du phytoplancton. La demande chimique en oxygène n'est, quant à elle, pas quantifiables, quel que soit l'échantillon durant le suivi 2015.

Tableau 3 – Résultats des analyses physico-chimiques (hors micropolluants) pour la retenue de Saint-Pierre-Cognet.

Code sandre	Paramètre	Unité	Limite de quantification	C1		C2		C3		C4	
				Intégré	Fond	Intégré	Fond	Intégré	Fond	Intégré	Fond
1436	Phéopigments	µg/L	1	<LQ	-	<LQ	-	1	-	<LQ	-
1439	Chlorophylle a	µg/L	1	1	-	1	-	1	-	<LQ	-
1332	Transparence	m	1	1,2	-	3,3	-	2,55	-	1,1	-
1295	Turbidité (Formazine Néphéломétrique)	NFU	0,1	5,7	5,9	1,3	5,3	1,8	2,9	6,6	3,5
1305	MeS	mg/L	1	3	5,2	<LQ	6,2	1,8	5,6	4,8	9,8
1313	DBO	mg(O2)/L	0,5	0,7	0,7	1,5	<LQ	<LQ	0,6	0,5	0,5
1314	DCO	mg(O2)/L	20	<LQ	<LQ	<LQ	<LQ	<LQ	<LQ	<LQ	<LQ
1841	Carbone organique*	mg(C)/L	0,2	0,7	0,6	0,8	0,4	0,6	0,4	0,4	0,4
1342	Silicates*	mg(SiO2)/L	0,05	4,6	4,5	4,3	4,2	4,3	4,3	3,7	4,1
1319	Azote Kjeldahl	mg(N)/L	0,5	<LQ	<LQ	<LQ	<LQ	<LQ	<LQ	<LQ	<LQ
1335	Ammonium*	mg(NH4)/L	0,01	0,01	0,01	<LQ	<LQ	<LQ	0,01	<LQ	0,01
1339	Nitrites*	mg(NO2)/L	0,01	<LQ	<LQ	<LQ	<LQ	0,01	0,02	0,02	0,01
1340	Nitrates*	mg(NO3)/L	0,5	2,1	2	1,4	1,5	1,1	1,1	1,5	1,3
1350	Phosphore total	mg(P)/L	0,005	<LQ	<LQ	<LQ	0,007	<LQ	<LQ	<LQ	<LQ
1433	Phosphates*	mg(PO4)/L	0,01	<LQ	0,01	0,01	0,02	0,01	0,01	<LQ	<LQ

* paramètres analysés sur eau filtrée

Tout au long du suivi, les nutriments, soient les nitrates, les phosphates et le phosphore total sont présents en très faibles quantités. Les deux derniers, notamment, sont, lorsqu'ils ont pu être quantifiés, mesurés à des concentrations proches de leurs seuils de quantification. Les nitrates sont consommés dès le début du printemps, leurs concentrations restant basses et stables lors des campagnes suivantes. La stabilité des teneurs mesurées peut être mise en lien avec le très court temps de séjour de l'eau au sein de la retenue.

4.1.4 Micropolluants minéraux

Le *Tableau 4* liste les onze micropolluants métalliques ayant été quantifiés au moins une fois au cours du suivi 2015. L'annexe 1 fournit l'ensemble des micropolluants recherchés.

Tableau 4 – Résultats d'analyses de métaux sur eau filtrée dans la retenue de Saint-Pierre-Cognet en 2015

Paramètre	Code sandre	Unité	Limite de quantification	C1		C2		C3		C4	
				Intégré	Fond	Intégré	Fond	Intégré	Fond	Intégré	Fond
Aluminium	1370	µg(Al)/L	2	4,3	6	5,4	5,3	6,3	12	14,7	11,9
Arsenic	1369	µg(As)/L	0,5	1,5	1,9	1,9	1,8	1,3	1,3	1,2	1,1
Baryum	1396	µg(Ba)/L	0,5	45,1	45,9	29,3	27,5	27,9	32	34,9	33,2
Cuivre	1392	µg(Cu)/L	0,1	0,44	0,3	0,24	0,17	0,25	0,2	0,23	0,22
Fer	1393	µg(Fe)/L	1	1,2	2,1	<LQ	1,3	2	1,6	2,8	2,4
Manganèse	1394	µg(Mn)/L	0,5	1,6	1,6	0,8	2,7	<LQ	1,7	<LQ	2,6
Sélénium	1385	µg(Se)/L	0,1	0,26	0,25	0,2	0,15	0,14	0,14	0,13	0,14
Titane	1373	µg(Ti)/L	0,5	<LQ	0,6	<LQ	<LQ	0,5	<LQ	<LQ	<LQ
Uranium	1361	µg(U)/L	0,05	1,18	1,4	1,37	1,13	1,48	1,6	1,78	1,69
Vanadium	1384	µg(V)/L	0,1	0,11	0,13	<LQ	0,11	0,13	0,11	0,11	0,11
Zinc	1383	µg(Zn)/L	1	1,38	2,24	<LQ	2,59	<LQ	<LQ	<LQ	<LQ

L'arsenic est dosé entre 1 µg/L et 2 µg/L lors de chaque campagne. Le zinc lui n'est dosé qu'en avril et juin, et alors, seulement dans l'échantillon de fond. Les mesures relevées pour ces deux métaux restent assez faibles. L'ensemble des micropolluants métalliques ne sont d'ailleurs quantifiés qu'en concentrations faibles à très faibles.

4.1.5 Micropolluants organiques

Le *Tableau 5* fournit la liste des huit micropolluants organiques quantifiés au cours du suivi 2015. L'annexe 1 fournit l'ensemble des micropolluants recherchés.

Parmi ces huit micropolluants, cinq n'ont été quantifiés que lors d'une seule campagne, fluorures, irbesartan, kétoprofène, monobutylétain cation et norfluoxétine. Les concentrations sont alors proches des seuils de quantification pour les quatre premiers. Ceci est également le cas du bromazepam (anxiolytique), quantifié en avril et juin dans l'échantillon de fond (0,013 µg/L).

Nicotine et caféine ne sont pas issues des activités agricoles ou industrielles. Non quantifiées ou très faiblement lors de la C1, ces composés augmentent au mois de juin et affichent leurs concentrations maximales en août, respectivement 0,047 µg/L et 0,055 µg/L dans l'échantillon intégré. Ils semblent plutôt tracer des rejets domestiques, augmentant durant les mois de fréquentation touristique de la région.

Tableau 5 – Résultats d'analyses des micropolluants organiques sur eau brute dans la retenue de Saint-Pierre-Cognet au cours du suivi 2015.

Paramètre	Code sandre	Famille	Unité	Limite de quantification	C1		C2		C3		C4	
					Intégré	Fond	Intégré	Fond	Intégré	Fond	Intégré	Fond
Bromazepam	5371	-	µg/L	0,01	< LQ	0,013	< LQ	0,011	< LQ	< LQ	< LQ	< LQ
Cafeïne	6519	-	µg/L	0,02	0,024	0,024	0,041	0,035	0,055	< LQ	< LQ	< LQ
Fluorures	7073	-	mg(F)/L	0,05	0,06	< LQ	< LQ	< LQ	< LQ	< LQ	< LQ	< LQ
Irbesartan	6535	-	µg/L	0,005	< LQ	0,006	< LQ	< LQ	< LQ	< LQ	< LQ	< LQ
Ketoprofene	5353	-	µg/L	0,01	< LQ	< LQ	0,032	0,019	< LQ	< LQ	< LQ	< LQ
Monobutylétain-cation	2542	Organo étains	µg/L	0,0025	< LQ	< LQ	< LQ	< LQ	0,0033	< LQ	< LQ	< LQ
Nicotine	5657	-	µg/L	0,02	< LQ	< LQ	0,025	< LQ	0,047	0,024	< LQ	< LQ
Norfluoxétine	6772	-	µg/L	0,005	0,014	< LQ	< LQ	< LQ	< LQ	< LQ	< LQ	< LQ

Il s'agit d'une présentation des résultats bruts, certaines valeurs pouvant être qualifiées d'incertaines suite à la validation finale des résultats (cas par exemple des valeurs mesurées en BTEX, DEHP, Formaldéhyde, dont une contamination via la chaîne de prélèvement et/ou d'analyse de laboratoire est parfois privilégiée).

4.2 Physico-chimie des sédiments

4.2.1 Physico-chimie des sédiments hors micropolluants

Les résultats des analyses de granulométrie et de physico-chimie générale des sédiments sont listés dans le *Tableau 6*. Les sédiments de la retenue du Sautet apparaissent très faible

en matière organique, avec une part de seulement 4% de la matière sèche. La part minérale de la matière sèche est composée à 90% de sédiments fins (argiles + limons), dont 2/3 de limons fins et argiles.

Tableau 6 – Eléments de physico-chimie et granulométrie des sédiments de la retenue de Saint-Pierre-Cognet (23/09/2015)

Fraction	Code sandre	Paramètre	Unité	Limite de quantification	Valeur
Matière sèche de particules inf. 2 mm	1841	Carbone organique	mg(C)/kg MS	1000	6900
Particule inf. 2 mm	1307	Matière sèche à 105°C	%	-	69,5
Matière sèche de particules inf. 2 mm	5539	Matière Sèche Minérale (M.S.M)	%	-	95,9
Matière sèche de particules inf. 2 mm	5540	Matière Sèche Organique (M.S.O)	%	-	4
Matière sèche de particules inf. 2 mm	6578	Perte au feu à 550°C	%	-	4,1
Matière sèche de particules inf. 2 mm	7044	Teneur en fraction supérieure à 200 µm	%	-	0,4
Matière sèche de particules inf. 2 mm	7043	Teneur en fraction de 150 à 200 µm	%	-	1,3
Matière sèche de particules inf. 2 mm	7042	Teneur en fraction de 63 à 150 µm	%	-	9,3
Matière sèche de particules inf. 2 mm	3054	Teneur en fraction de 20 à 63 µm	%	-	28,5
Matière sèche de particules inf. 2 mm	6228	Teneur en fraction inférieure à 20 µm	%	-	60,5
Matière sèche de particules inf. 2 mm	1335	Ammonium	mg(N)/kg MS	200	< LQ
Matière sèche de particules inf. 2 mm	1319	Azote Kjeldahl	mg(N)/kg MS	1000	1581
Matière sèche de particules inf. 2 mm	1350	Phosphore total	mg(P)/kg MS	1	940,3
Eau intersticielle filtrée	1335	Ammonium	mg(NH4+)/L	0,5	1,34
Eau intersticielle filtrée	1433	Phosphates	mg(PO4)/L	0,1	< LQ
Eau intersticielle brute	1350	Phosphore total	mg(P)/L	0,1	< LQ

La concentration en phosphore total est peu élevée, 940,3 mg(P)/kg MS. Les concentrations en azote et carbone organique sont quant à elles très faibles au sein des sédiments. De même, l'eau intersticielle des sédiments est pauvre en ammonium (1,34 mg(NH4+)/L), phosphates et phosphores (<0,1 mg(P)/L). Les conditions physico-chimiques régnant au fond de la colonne d'eau ne sont pas propices au relargage lors de cette campagne (colonne d'eau homogène et oxygénée jusqu'au fond). Les concentrations en matières azotées et phosphorées étant très faibles dans les sédiments et l'eau intersticielle, les sédiments de la retenue de Saint-Pierre-Cognet ne montrent pas de pouvoir de relargage particulier pour ces composés.

4.2.2 Micropolluants minéraux

Les vingt-cinq micropolluants métalliques recherchés dans les sédiments sont listés dans l'annexe 2. Vingt-quatre ont été quantifiés lors de la campagne de septembre et sont listés dans le *Tableau 7*. Plusieurs paramètres affichent des concentrations moyennes à élevées :

- arsenic, 44,4 mg(As)/kg MS;
- chrome, 95,3 mg(Cr)/kg MS;
- cuivre : 40,1 mg(Cu)/kg MS;
- nickel : 56,6 mg(Ni)/kg MS;
- plomb : 41,1 mg(Pb)/kg MS;
- et zinc : 164,7 mg(Zn)/kg MS.

L'aluminium et le fer sont l'élément dosé aux teneurs les plus élevées, soit 62 720 mg(Al)/kg MS et 39 050 mg(Fe)/kg MS.

Tableau 7 – Micropolluants minéraux quantifiés dans les sédiments de la retenue de Saint-Pierre-Cognet (23/09/2015)

Paramètre	Code sandre	Unité	Limite de quantification	Valeur
Aluminium	1370	mg(Al)/kg MS	10	62720
Antimoine	1376	mg(Sb)/kg MS	0,2	2,6
Argent	1368	mg(Ag)/kg MS	0,2	0,2
Arsenic	1369	mg(As)/kg MS	0,2	44,4
Baryum	1396	mg(Ba)/kg MS	0,4	552,2
Beryllium	1377	mg(Be)/kg MS	0,2	2,4
Bore	1362	mg(B)/kg MS	1	69,8
Cadmium	1388	mg(Cd)/kg MS	0,2	0,6
Chrome	1389	mg(Cr)/kg MS	0,2	95,3
Cobalt	1379	mg(Co)/kg MS	0,2	20,5
Cuivre	1392	mg(Cu)/kg MS	0,2	40,1
Etain	1380	mg(Sn)/kg MS	0,2	4,4
Fer	1393	mg(Fe)/kg MS	10	39050
Manganèse	1394	mg(Mn)/kg MS	0,4	1522
Mercure	1387	mg(Hg)/kg MS	0,02	0,05
Molybdène	1395	mg(Mo)/kg MS	0,2	2,4
Nickel	1386	mg(Ni)/kg MS	0,2	56,6
Plomb	1382	mg(Pb)/kg MS	0,2	41,1
Sélénium	1385	mg(Se)/kg MS	0,2	2,4
Thallium	2555	mg(Tl)/kg MS	0,2	1,5
Titane	1373	mg(Ti)/kg MS	1	3682
Uranium	1361	mg(U)/kg MS	0,2	3,8
Vanadium	1384	mg(V)/kg MS	0,2	123
Zinc	1383	mg(Zn)/kg MS	0,4	164,7

4.2.3 Micropolluants organiques

La liste de l'ensemble des micropolluants organiques recherchés est présentée en annexe 2. Comme lors du précédent suivi datant de 2012, aucun micropolluant organique n'a été quantifié dans les sédiments de la retenue de Saint-Pierre-Cognet en 2015.

5. COMPARTIMENTS BIOLOGIQUES

5.1 Phytoplancton

Le phytoplancton a été échantillonné au niveau de la zone trophogène au cours des quatre campagnes de prélèvement. La *Figure 6* présente la structure et l'évolution des peuplements phytoplanctoniques prélevés lors des quatre campagnes 2015 en termes de concentration et de biovolume algaux ainsi que celle de l'IPL calculé sur les biovolumes. Le *Tableau 8* présente la liste taxinomique quantifiée du phytoplancton au cours des quatre campagnes.

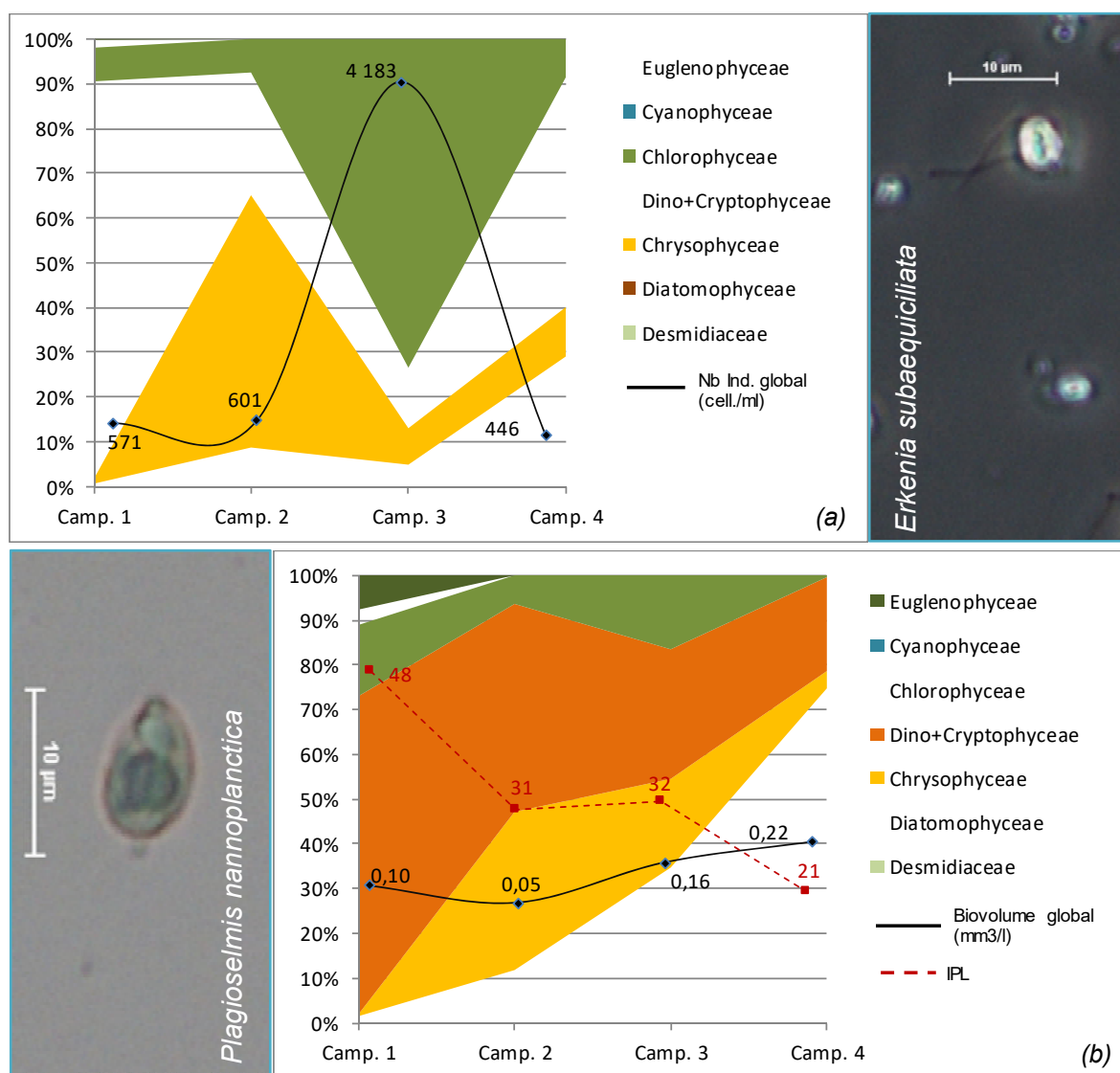


Figure 6 - Evolution de la structure des populations phytoplanctoniques de la retenue de Saint-Pierre-Cognet au cours des 4 saisons de prélèvement 2015 (regroupés en principaux groupes pigmentaires). (a) Evolution en termes de concentration (exprimée en nombre de cellules par ml d'eau) ; (b) Evolution en termes de biovolume algal (exprimé en mm³/l) et indice planctonique lacustre correspondant calculé sur la base des biovolumes.

Les concentrations et biovolumes des peuplements phytoplanctoniques observés au sein de la retenue de Saint-Pierre-Cognet sont peu importants, reflétant les faibles taux de nutriments disponibles (cf. §4.1.3). En termes de concentrations et de biovolumes algaux, la campagne C1 est dominée par une cryptophycée cosmopolite de petite taille et très mobile grâce à ses deux flagelles, *Plagioselmis nannoplanctica*. Egalement bien représentée en C2, elle est cependant supplantée par une chrysophycée, *Erkenia subaequiciliata*. Ces groupes pigmentaires, cryptophycées et chrysophycées, sont classiquement rencontré en début de production.

Lors de la campagne d'août, les eaux de surface de la retenue sont proches de 20 °C. Ceci favorise alors le développement phytoplanctonique dont la concentration totale est multipliée par un facteur de 7, notamment grâce à l'expansion de petites chlorophycées unicellulaires. De par leur petite taille (< 5 µm), et bien que représentant plus de 70% du peuplement total en termes de concentration, elles ne représentent que 15% du biovolume total, dont 16% sont dus à de grandes diatomées centriques indéterminées et 22% à *P. nannoplanctica*. Avec le rafraîchissement des températures automnales, le peuplement phytoplanctonique se réduit. Les chlorophycées régressent et le peuplement est à nouveau dominé par des taxons plus psychrophiles¹⁰. Au sein de la colonne d'eau complètement homogène, *P. nannoplanctica*, qui peut se mouvoir aisément dans la colonne d'eau est à nouveau l'espèce dominante en termes de concentration algale (40% des individus). Les diatomées ne représentent 30% du nombre de cellules total, mais plus de 70% du biovolume global dont 40% pour le seul genre *Fragilaria*.

L'**IPL** moyen, calculé sur les trois campagnes de production (C2, C3, C4), est de 28/100, caractérisant le milieu d'**oligotrophe**. Du fait de l'importante contribution des diatomées au biovolume global, la note de la campagne 4 (21) est particulièrement basse. Cet état trophique est notamment le reflet de concentrations en nutriments faibles (cf. §4.1.3) et d'un temps de séjour de l'eau particulièrement faible.

¹⁰ Psychophile : ce dit d'un taxon ayant une préférence pour des milieux aux températures plutôt fraîches (< 15°C), par opposition aux organismes dit thermophiles.

Tableau 8 – Liste taxinomique du phytoplancton échantillonné au cours des 4 campagnes 2015 sur la retenue de Saint-Pierre-Cognet. Les individus sont présentés en concentrations (cell./ml).

Groupes	Noms Taxon	Codes SANDRE	Campagne			
			C1	C2	C3	C4
BACILLARIOPHYCEAE	Achnanthidium delmontii	33829				1
	Nitzschia	9804			19	2
	Nitzschia acicularis	8809				3
CHLORODENDROPHYCEAE	Tetraselmis	5023	1			
CHLOROPHYCEAE	Ankyra judayi	5596				2
	Chlamydomonas	6016	10			
	Chlorophycées flagellées indé. diam > 10 µm	20152		1		
	Chlorophycées flagellées indé. diam 5 - 10 µm	20154	5			
	Chlorophycées unicellulaires < 5µm	20155		4	3042	26
	Chlorophycées unicellulaires 5-10 µm	20155		1	10	
	Coenochloris pyrenoidosa cf.	5620	10	39		
	Desmodesmus costato-granulatus	31932				2
	Dictyosphaerium (environ 2µm)	5645	17			
	Kirchneriella	4755				1
CHRYSOPHYCEAE	Chromulina skuae	38209			10	
	Dinobryon divergens	6130		5	29	34
	Dinobryon elegantissimum	6131				5
	Dinobryon sertularia	6134				4
	Dinobryon sociale	6136			244	5
	Kephyriion	6150	5	27	10	1
COCCOLITHOPHYCEAE	Erkenia subaequiciliata	6149	1	307	49	
COSCINODISCOPHYCEAE	Cyclotella costei	8615				28
	Cyclotella delicatula	12414				4
	Diatomées centriques indé. > 10 µm	20160				29
	Diatomées centriques (5 µm)	31228	2	29	97	
	Diatomées centriques indé. <10 µm	31228		21	49	
	Diatomées pennées indé.	20161		2		
	Discostella stelligera	8657				3
	Puncticulata radiosa	8731				33
	Stephanodiscus alpinus	8738				16
CRYPTOPHYCEAE	Chroomonas coerulea	9625				4
	Cryptomonas	6269	2	2		7
	Goniomonas truncata	35416				19
	Goniomonas truncata cf.	35416		12		
	Plagioselmis nannoplantica	9634	452	139	517	214
	Rhodomonas lens	24459	34	9	29	2
CYANOPHYCEAE	Chroococcus	6355	10			
DINOPHYCEAE	Gymnodinium	4925	18	2		
	Peridinium	6577				2
EUGLENOPHYCEAE	Euglena	6479	1			
FRAGILARIOPHYCEAE	Diatoma	6627	1			
	Fragilaria	9533				36
	Fragilaria sp. >100µm	9533			10	
	Ulnaria ulna	6849				4
TREBOUXIOPHYCEAE	Didymocystis fina	9193			19	6
	Didymocystis plantonica	25668				2
Total général			571	601	4183	446

5.2 Oligochètes

Les prélèvements d'oligochètes dans les sédiments de la retenue de Saint-Pierre-Cognet ont été réalisés le 3 juin 2015. Aucune stratification thermique n'était alors observable. La *Figure 7* situe les points de prélèvement sur un fond de carte IGN. Les listes faunistiques obtenues sont présentées dans le *Tableau 9* (le rapport d'analyse est fourni en annexes).

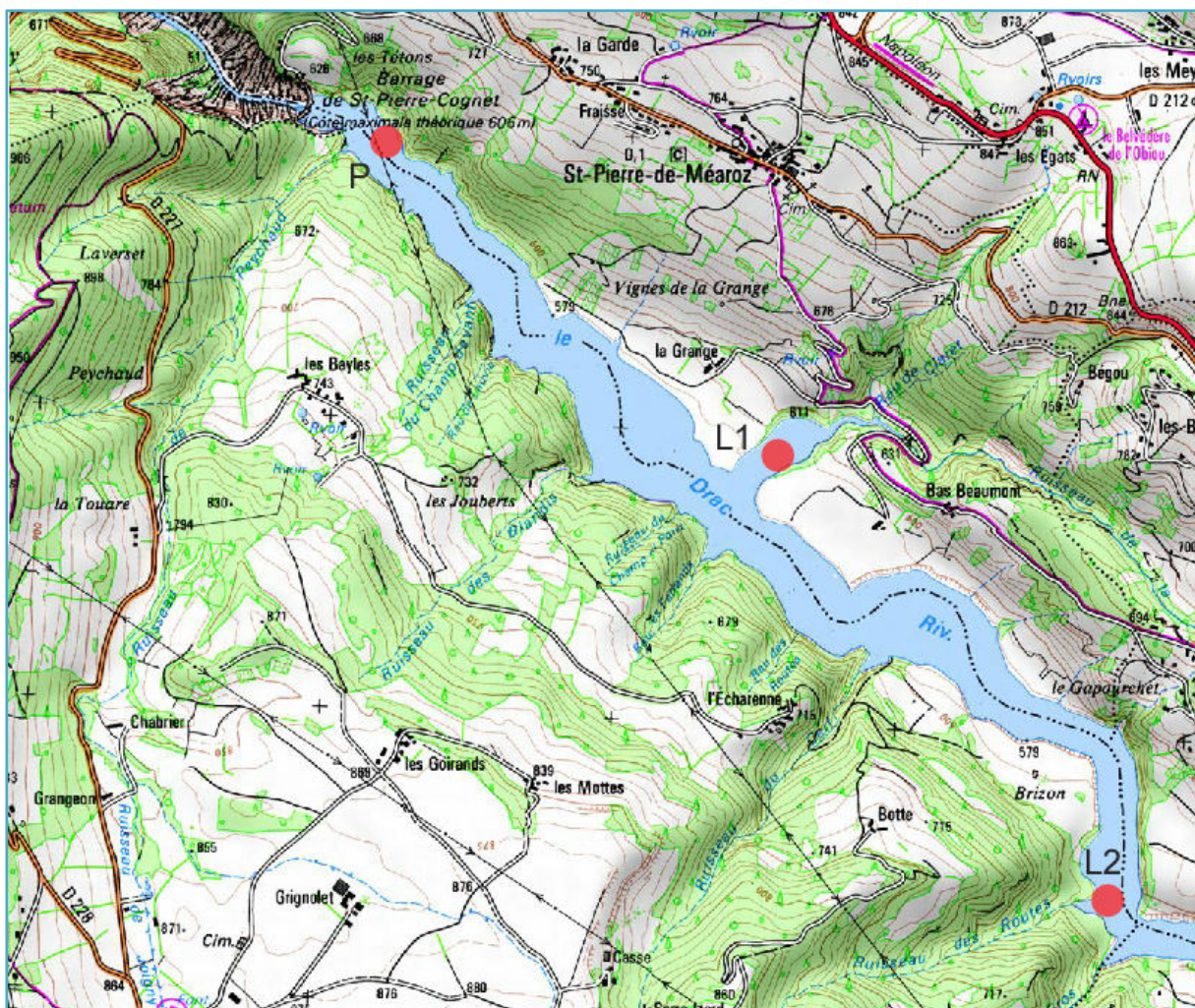


Figure 7 – Carte de localisation des points de prélèvement IOBL. Retenue de Saint-Pierre-Cognet, 03/06/2015. P : point profond, L1 et L2 : points littoraux. Echelle : 1/17 000^{ème}.

Les trois points d'échantillonnage présentent de fortes densités d'oligochètes, de 239 ind./0,1 m² pour le point littoral L1 à 3 922 ind./0,1 m², pour le point profond P. Les trois peuplements sont dominés à plus de 85% par des *Tubificinae* sans soie capillaires. Les formes immatures en représentent 40% et 45% respectivement, pour les points P et L1. Le taxon *Potamothrix vejvodskyi* domine à plus de 50% les peuplements littoraux et représente près de 30% de celui du point profond. Cette espèce caractérise des sédiments de qualité moyenne. Le peuplement de P se distingue aussi par la présence de trois taxons considérés comme sensibles aux pollutions organiques et toxiques, *Psammoryctides barbatus* (10% des individus), *Vejdoskyella intermedia* (1,8%) et *Stylodrilus herringianus* (4,5%). Aucun micropolluant organique n'a d'ailleurs été quantifié dans les sédiments du point profond (cf. 4.2.3).

Les notes **IOBL** des points littoraux (10,1 pour L1 et 14,2 pour L2), prélevés à 20 m traduisent des sédiments ayant un fort potentiel de métabolisation de la matière organique. Le point profond se voit attribuer la note très élevée de 17,8, reflétant la faible charge organique des sédiments (cf.4.2.1). Des notes supérieures à 15 sont rencontrées dans les grands lacs naturels

et les retenues ayant un temps de séjour très court, comme Saint-Pierre-Cognet. Ces notes élevées bénéficient probablement de la très bonne oxygénation de la masse d'eau observée tout au long du suivi. Toutefois, les pourcentages d'espèces sensibles inférieurs à 20% pour le point profond et à 1% pour les littoraux traduisent des sédiments de qualité moyenne (point P) à mauvaise (L1 et L2). Le marnage régulier sur la retenue pénalise probablement les points littoraux.

La note IOBL global de la retenue de Saint-Pierre-Cognet est de 15,0, elle traduit un **fort potentiel métabolique de sédiments de qualité moyenne**, à mettre en relation avec le temps de séjour de l'eau très court (9 jours) et la saturation en oxygène continue de l'ensemble de la masse d'eau.

Tableau 9 – Listes faunistiques et valeurs de l'IOBL pour la retenue de Saint-Pierre-Cognet, le 03/06/2015. Les valeurs indiquent une densité pour 0,1 m².

Liste faunistique Oligochètes (les valeurs indiquent une densité pour 0,1 m²)

			Plan d'eau			
			Date			
			P	L1	L2	
			profondeur (m)	38	20	19,6
Taxons	Code	Code Sandre				
Naididae						
Tubificinae avec soies capillaires	<i>Immatures</i> <i>Aulodrilus plurisetata</i> <i>Potamothrix vejvodskyi</i> <i>Psammoryctides barbatus*</i> <i>Tubifex tubifex</i>	TUBC AUPL POVE PSBA TBTU	5231 19316 9835 2988 946	1569 71 1141 392 214	109 0 123 0 0	106 19 370 0 0
sous-total (%)				86	97	93
Tubificinae sans soies capillaires	<i>Immatures</i> <i>Limnodrilus hoffmeisteri</i> <i>Limnodrilus udekemianus</i>	TUSS LIHO LIUD	5230 2991 2989	250 36 0	7 0 0	29 0 5
sous-total (%)				7	3	6
Naidinae	<i>Vejdoskyella intermedia*</i>	VEIN	19315	71 2	0 0	0 0
sous-total (%)						
Lumbriculidae	<i>Stylodrilus heringianus*</i> <i>Stylodrilus lemani*</i>	STHE STLE	2980 19302	178 0	0 0	0 5
sous-total (%)				5	0	1
Densité totale (D) (pour 0,1 m²)				3922	239	534
Calcul IOBL						
Nombre d'espèces (S)				7	3	6
IOBL = S+3log10(D+1)				17,8	10,1	14,2
Pourcentage d'espèces sensibles par point				16,3	0	0,9
Pourcentage d'espèces sensibles rapporté à la densité globale du PE				13,7	0	0,1
Indice IOBL Total⁽¹⁾				15,0		

* Espèces sensibles à la pollution dans les sédiments lacustres profonds.

⁽¹⁾ : Paramètre non couvert par l'accréditation (non mentionné par la Norme IOBL NF T90-391 (mars 2005)), mais utilisé dans le calcul de l'indice oligochètes IOL de la diagnose rapide des plans d'eau du CEMAGREF version Juillet 2003.
-1 point profond P1 et 1 point en profondeur intermédiaire P2 : IOBL total = 1/2 (IOBL P1 + IOBL P2)
-1 point profond P1 et 2 points en profondeur intermédiaire P2 et P3 : IOBL total = 1/2 IOBL P1 + 1/4 IOBL P2 + 1/4 IOBL P3

ANNEXES

Annexe 1

Liste des micropolluants analysés sur eau

Type	Code SANDRE	Paramètre
Micropolluants organiques	6456	Acébutolol
Micropolluants organiques	1453	Acénaphthène
Micropolluants organiques	1622	Acénaphtylène
Micropolluants organiques	1100	Acéphate
Micropolluants organiques	1454	Acétaldéhyde
Micropolluants organiques	5579	Acetamiprid
Micropolluants organiques	1903	Acétochlore
Micropolluants organiques	5581	Acibenzolar-S-Méthyl
Micropolluants organiques	5408	Acide chlorélique
Micropolluants organiques	5369	Acide fenofrique
Micropolluants organiques	1465	Acide monochloroacétique
Micropolluants organiques	1521	Acide nitrobitractique (NTA)
Micropolluants organiques	6549	Acide pentacosfluorotridecanoïque
Micropolluants organiques	6550	Acide perfluorodecane sulfonique (PF
Micropolluants organiques	6509	Acide perfluoro-decanoïque (PFDA)
Micropolluants organiques	6507	Acide perfluoro-dodecanoïque (PFDo)
Micropolluants organiques	6542	Acide perfluorohexane sulfonique
Micropolluants organiques	6830	Acide perfluorohexanesulfonique (PFH
Micropolluants organiques	5980	Acide perfluoro-n-butanoïque
Micropolluants organiques	5977	Acide perfluoro-n-heptanoïque (PFH
Micropolluants organiques	5978	Acide perfluoro-n-hexanoïque (PFHxA
Micropolluants organiques	6508	Acide perfluoro-n-nananoïque (PFNA)
Micropolluants organiques	5979	Acide perfluoro-n-pentanoïque
Micropolluants organiques	6510	Acide perfluoro-n-undecanoïque (PFU)
Micropolluants organiques	6560	Acide perfluooctanesulfonique (PFC)
Micropolluants organiques	5347	Acide Perfluorotradecanoïque (PFOA)
Micropolluants organiques	6547	Acide sulfonique de perflurobutane
Micropolluants organiques	6025	Acide sulfonique de perflurobutane
Micropolluants organiques	1970	Acifluoren
Micropolluants organiques	1688	Aclonifen
Micropolluants organiques	1310	Acrinathrine
Micropolluants organiques	1101	Alachlore
Micropolluants organiques	1102	Aldicarbe
Micropolluants organiques	1807	Aldicarbe sulfone
Micropolluants organiques	1806	Aldicarbe sulfonyde
Micropolluants organiques	1103	Aldrine
Micropolluants organiques	1697	Alléthrine
Micropolluants organiques	7501	Allyxycarbe
Micropolluants organiques	6651	alpha-Hexabromocyclododecane
Micropolluants organiques	1812	Alphaméthrine
Micropolluants organiques	5370	Alprazolam
Micropolluants organiques	1104	Anérytine
Micropolluants organiques	5697	Amidithion
Micropolluants organiques	2012	Amidosulfuron
Micropolluants organiques	5523	Aminocarbe
Micropolluants organiques	2537	Aminochlorophénoïde-2,4
Micropolluants organiques	7567	Aminopyrine
Micropolluants organiques	1105	Aminotiazole
Micropolluants organiques	7516	Ampirofós-méthyl
Micropolluants organiques	1308	Amitraze
Micropolluants organiques	6967	Amitriptyline
Micropolluants organiques	6781	Amiodipine
Micropolluants organiques	1907	AMPA
Micropolluants organiques	5385	Androstenedione
Micropolluants organiques	6594	Anilofos
Micropolluants organiques	1458	Anthracène
Micropolluants organiques	2013	Anthraquinone
Micropolluants organiques	7019	GREBE eau sol environnement
Micropolluants organiques	2815	
Micropolluants organiques	7012	
Micropolluants organiques	3159	
Micropolluants organiques	2615	
Micropolluants organiques	2613	
Micropolluants organiques	6427	
Micropolluants organiques	7019	
Micropolluants organiques	5695	
Micropolluants organiques	2819	
Micropolluants organiques	2820	
Micropolluants organiques	2823	
Micropolluants organiques	6536	
Micropolluants organiques	5474	
Micropolluants organiques	1958	
Micropolluants organiques	2610	
Micropolluants organiques	1959	
Micropolluants organiques	2863	
Micropolluants organiques	2822	
Micropolluants organiques	2817	

Type	Code SANDRE	Paramètre
Micropolluants organiques	1584	Biphényle
Micropolluants organiques	6453	Bisoprolol
Micropolluants organiques	2766	Bisphénol-A
Micropolluants organiques	1529	Bitteranol
Micropolluants organiques	7345	Bixaéfen
Micropolluants organiques	5526	Boscalid
Micropolluants organiques	1686	Bromacil
Micropolluants organiques	1859	Bromadiolone
Micropolluants organiques	5371	Bromazepam
Micropolluants organiques	1122	Bromoformé
Micropolluants organiques	1123	Bromophos éthyl
Micropolluants organiques	1124	Bromophos méthyl
Micropolluants organiques	1685	Bromopropylate
Micropolluants organiques	1125	Bromoxynil
Micropolluants organiques	1941	Bromoxynil octanoate
Micropolluants organiques	1860	Bromoconazole
Micropolluants organiques	7502	Bufencarbe
Micropolluants organiques	6742	Bulfomedil
Micropolluants organiques	1861	Bupirimate
Micropolluants organiques	6518	Bupivacaïne
Micropolluants organiques	1862	Buprofezine
Micropolluants organiques	5710	Butamifos
Micropolluants organiques	1126	Butraline
Micropolluants organiques	1531	Buturon
Micropolluants organiques	7038	Butylate
Micropolluants organiques	1855	Butylbenzène sec
Micropolluants organiques	1610	Butylbenzène tert
Micropolluants organiques	1863	Cadusafos
Micropolluants organiques	6519	Catéine
Micropolluants organiques	1127	Captafol
Micropolluants organiques	1128	Captiane
Micropolluants organiques	5296	Carbamazepine
Micropolluants organiques	6725	Carbamazepine époxide
Micropolluants organiques	1463	Carbaryl
Micropolluants organiques	1129	Carbendazime
Micropolluants organiques	1333	Carbétamide
Micropolluants organiques	1130	Carbofuran
Micropolluants organiques	1805	Carboturan 3 hydroxy
Micropolluants organiques	1131	Carbophenothonium
Micropolluants organiques	1864	Carbosulfan
Micropolluants organiques	2975	Carboxine
Micropolluants organiques	2976	Carfentrazone-éthyl
Micropolluants organiques	1865	Chinométhionate
Micropolluants organiques	5418	Chloramphénicol
Micropolluants organiques	7500	Chlorantilaniliprole
Micropolluants organiques	1326	Chlorbutame
Micropolluants organiques	7010	Chlordane alpha
Micropolluants organiques	1757	Chlordane beta
Micropolluants organiques	1758	Chlordane gamma
Micropolluants organiques	1866	Chlordécone
Micropolluants organiques	5553	Chlorenzenon
Micropolluants organiques	1464	Chlofenvinphos
Micropolluants organiques	2950	Chlortiazuron
Micropolluants organiques	1133	Chlordazone
Micropolluants organiques	5522	Chlorimuron-éthyl
Micropolluants organiques	5405	Chlormadindone

Type	Code SANDRE	Paramètre
Micropolluants organiques	1868	Clofentazine
Micropolluants organiques	2017	Clomazone
Micropolluants organiques	1810	Cloryralide
Micropolluants organiques	2018	Cloquinotocet methyl
Micropolluants organiques	6520	Cotinine
Micropolluants organiques	2972	Coumarène
Micropolluants organiques	1682	Coumaphos
Micropolluants organiques	2019	Coumatétraly
Micropolluants organiques	1639	Crésol-méta
Micropolluants organiques	1640	Crésol-ontha
Micropolluants organiques	1638	Crésol-para
Micropolluants organiques	5724	Crotoxyphos
Micropolluants organiques	5725	Crufomate
Micropolluants organiques	1137	Cyanazine
Micropolluants organiques	5726	Cyanoenphos
Micropolluants organiques	1084	Cyanures libres
Micropolluants organiques	5568	Cycloate
Micropolluants organiques	6733	Cyclophosphamide
Micropolluants organiques	2729	Cycloxydine
Micropolluants organiques	1686	Cycluron
Micropolluants organiques	1681	Cyfluthrine
Micropolluants organiques	5569	Cyhalofop-butyl
Micropolluants organiques	1138	Cyhalothrine
Micropolluants organiques	1139	Cymoxanil
Micropolluants organiques	1140	Cyperméthrine
Micropolluants organiques	1680	Cyproconazole
Micropolluants organiques	1359	Cyprodinil
Micropolluants organiques	2897	Cyromazine
Micropolluants organiques	7503	Cytibate
Micropolluants organiques	5930	Daimuron
Micropolluants organiques	2094	Dalapon
Micropolluants organiques	6677	Danoloxacine
Micropolluants organiques	1929	DCP MU (métabolite du Diuron)
Micropolluants organiques	1930	DCPU (métabolite Diuron)
Micropolluants organiques	1143	DDD-o,p'
Micropolluants organiques	1144	DDD-p,p'
Micropolluants organiques	1145	DDE-o,p'
Micropolluants organiques	1146	DDE-p,p'
Micropolluants organiques	1147	DDT-o,p'
Micropolluants organiques	1148	DDT-p,p'
Micropolluants organiques	6616	DEHP
Micropolluants organiques	1149	Deiaméthrine
Micropolluants organiques	1550	Déméton O + S
Micropolluants organiques	1153	Déméton S méthyl
Micropolluants organiques	1154	Déméton S méthyl sulfone
Micropolluants organiques	1150	Déméton-O
Micropolluants organiques	1152	Déméton-S
Micropolluants organiques	2051	Déséthyl-terbuméthon
Micropolluants organiques	5750	Désethylterbutylazine-2-hydroxy
Micropolluants organiques	2980	Desmediphame
Micropolluants organiques	2738	Desméthylisoproturon
Micropolluants organiques	1155	Desmétine
Micropolluants organiques	6574	Dexamethasone
Micropolluants organiques	1156	Diallate
Micropolluants organiques	5372	Diazepam
Micropolluants organiques	1157	Diazinon
Micropolluants organiques	1621	Dibenzo (ah) Anthracène

Type	Code SANDRE	Paramètre
Micropolluants organiques	1134	Chioméphos
Micropolluants organiques	5554	Chioméquat
Micropolluants organiques	1606	Chloro-2-p-toluidine
Micropolluants organiques	1955	Chloroalcanes C10-C13
Micropolluants organiques	1593	Chloroaniline-2
Micropolluants organiques	1592	Chloroaniline-3
Micropolluants organiques	1591	Chloroaniline-4
Micropolluants organiques	1467	Chlorobenzène
Micropolluants organiques	2016	Chlorobiomuron
Micropolluants organiques	1612	Chlorodinitrobenzène-1,2,4
Micropolluants organiques	1135	Chloroforme (Trichlorométhane)
Micropolluants organiques	2821	Chlorométhylaniline-4,2
Micropolluants organiques	1635	Chlorométhylphénol-2,5
Micropolluants organiques	2759	Chlorométhylphénol-2,6
Micropolluants organiques	1634	Chlorométhylphénol-4,2
Micropolluants organiques	1636	Chlorométhylphénol-4,3
Micropolluants organiques	1603	Chloronaphthalène-1
Micropolluants organiques	1604	Chloronaphthalène-2
Micropolluants organiques	1341	Chloronebe
Micropolluants organiques	1594	Chloronitroaniline-4,2
Micropolluants organiques	1469	Chloronitrobenzène-1,2
Micropolluants organiques	1468	Chloronitrobenzène-1,3
Micropolluants organiques	1470	Chloronitrobenzène-1,4
Micropolluants organiques	2814	Chloronitrotoluène-2,3
Micropolluants organiques	1605	Chloronitrotoluène-4,2
Micropolluants organiques	1684	Chlorophacnone
Micropolluants organiques	1471	Chlorophénol-2
Micropolluants organiques	1651	Chlorophénol-3
Micropolluants organiques	1650	Chlorophénol-4
Micropolluants organiques	2611	Chloroprène
Micropolluants organiques	2065	Chlortropéne-3
Micropolluants organiques	1473	Chlorothalonil
Micropolluants organiques	1602	Chlorotoluène-2
Micropolluants organiques	1601	Chlorotoluène-3
Micropolluants organiques	1600	Chlorotoluène-4
Micropolluants organiques	1683	Chlorouron
Micropolluants organiques	1474	Chlorthophame
Micropolluants organiques	1083	Chloryriphos éthyl
Micropolluants organiques	1540	Chloryriphos méthyl
Micropolluants organiques	1353	Chlorsulfuron
Micropolluants organiques	6743	Chlortetracycline
Micropolluants organiques	2966	Chlortal dimetyl
Micropolluants organiques	1813	Chlothiamide
Micropolluants organiques	5723	Chlothiophos
Micropolluants organiques	1136	Chlortoluron
Micropolluants organiques	1579	Chlorture de Benzyle
Micropolluants organiques	2715	Chlorture de choline
Micropolluants organiques	1753	Chlorture de vinyle
Micropolluants organiques	1476	Chrysene
Micropolluants organiques	5481	Cinosulfuron
Micropolluants organiques	6540	Ciprofloxacine
Micropolluants organiques	6537	Clarithromycine
Micropolluants organiques	6968	Clenbuterol
Micropolluants organiques	2978	Clethodim
Micropolluants organiques	6792	Clindamycine
Micropolluants organiques	2095	Clodinafop-propargyl

Code SANDRE	Paramètre	Type	
		Code SANDRE	Paramètre
1158	Dibromochlorométhane	Micropolluants organiques	5524 Difenoixuron
1498	Dibromoéthane-1,2	Micropolluants organiques	2983 Diethialone
1513	Dibromométhane	Micropolluants organiques	1488 Diflubenzuron
7074	Dibulyletain cation	Micropolluants organiques	1814 Diflufenicanil
1480	Dicamba	Micropolluants organiques	6647 Dihydrocodeine
1679	Dichlobénil	Micropolluants organiques	6729 Diltiazem
1159	Dichlofenthion	Micropolluants organiques	1870 Diméfuron
1360	Dichlofluanide	Micropolluants organiques	7142 Dimépiperate
1160	Dichloréthane-1,1	Micropolluants organiques	2546 Dimétachlore
1161	Dichloréthane-1,2	Micropolluants organiques	5737 Diméthametryn
1162	Dichloréthylène-1,1	Micropolluants organiques	1678 Diméthénamide
1163	Dichloréthylène-1,2	Micropolluants organiques	5617 Diméthénamid-P
1456	Dichloréthylène-1,2, cis	Micropolluants organiques	1175 Diméhoate
1727	Dichloréthylène-1,2, trans	Micropolluants organiques	1403 Diméthomorph
2929	Dichloroamide	Micropolluants organiques	2773 Diméthylamine
1590	Dichloroaniline-2,3	Micropolluants organiques	6292 Diméthylaniline
1589	Dichloroaniline-2,4	Micropolluants organiques	1641 Diméthylphénol-2,4
1588	Dichloroaniline-2,5	Micropolluants organiques	6972 Diméthylvinphos
1587	Dichloroaniline-2,6	Micropolluants organiques	1698 Dimétilan
1586	Dichloroaniline-3,4	Micropolluants organiques	5748 dimoxystrobine
1585	Dichloroaniline-3,5	Micropolluants organiques	1871 Dimiconazole
1165	Dichlorobenzene-1,2	Micropolluants organiques	1578 Dinitrotoluène-2,4
1164	Dichlorobenzene-1,3	Micropolluants organiques	1577 Dinitrotoluène-2,6
1166	Dichlorobenzene-1,4	Micropolluants organiques	5619 Dinocap
1484	Dichlorobenzidine-3,3'	Micropolluants organiques	1491 Dinosèbe
1167	Dichlorobromométhane	Micropolluants organiques	1176 Dinoterbe
1168	Dichlorométhane	Micropolluants organiques	7494 Diocetylétain cation
1617	Dichloronitrobenzène-2,3	Micropolluants organiques	5743 Dixoxacarb
1616	Dichloronitrobenzène-2,4	Micropolluants organiques	5478 Diphenylamine
1615	Dichloronitrobenzène-2,5	Micropolluants organiques	7495 Diphenyletian cation
1614	Dichloronitrobenzène-3,4	Micropolluants organiques	1699 Disquat
1613	Dichloronitrobenzène-3,5	Micropolluants organiques	1492 Disulfoton
2981	Dichlorophène	Micropolluants organiques	5745 Dialimatos
1645	Dichlorophénol-2,3	Micropolluants organiques	1177 Diuron
1486	Dichlorophénol-2,4	Micropolluants organiques	1490 DNOC
1649	Dichlorophénol-2,5	Micropolluants organiques	3383 Dodécyl phénol
1648	Dichlorophénol-2,6	Micropolluants organiques	2933 Dodine
1647	Dichlorophénol-3,4	Micropolluants organiques	6969 Doxepine
1646	Dichlorophénol-3,5	Micropolluants organiques	6791 Doxycycline
2081	Dichloropropane-2,2	Micropolluants organiques	7515 DPU (Diphenylurée)
1834	Dichloropropylène-1,3, Cis	Micropolluants organiques	5751 Edifenphos
1835	Dichloropropylène-1,3, Trans	Micropolluants organiques	1493 EDTA
1169	Dichloroprop	Micropolluants organiques	1178 Endosulfan alpha
2544	Dichloroprop-P	Micropolluants organiques	1179 Endosulfan beta
1170	Dichlorvos	Micropolluants organiques	1742 Endosulfan sulfate
5349	Dicofénone	Micropolluants organiques	1181 Endrine
1171	Diolef mésityl	Micropolluants organiques	2941 Endrine aldehyde
7507	Dienestrol	Micropolluants organiques	6784 Enrofloxacine
1402	Diéthofencarbe	Micropolluants organiques	1494 Epichlorohydrine
2826	Diéthyamine	Micropolluants organiques	1873 EPN
2628	Diéthylstilbestrol	Micropolluants organiques	1744 Epoxiconazole
2982	Difenacoum	Micropolluants organiques	1182 EPIC
1905	Difénoconazole	Micropolluants organiques	7504 Equilin
			6522 Erythromycine
			1809 Esténvalératé
			5397 Estradiol
			6446 Estriol

Type	Code SANDRE	Paramètre
Micropolluants organiques	5396	Estrene
Micropolluants organiques	5529	Ethametsulfuron-méthyl
Micropolluants organiques	2093	Ethephon
Micropolluants organiques	1763	Ethidimuron
Micropolluants organiques	5528	Ethiofencarbe sulfone
Micropolluants organiques	6534	Ethiofencarbe sulfonyde
Micropolluants organiques	1183	Ethion
Micropolluants organiques	1874	Ethiophencarbe
Micropolluants organiques	1184	Ethofumesate
Micropolluants organiques	1495	Ethoprophos
Micropolluants organiques	5527	Ethoxysulfuron
Micropolluants organiques	2673	Ethy1 tert-butyl ether
Micropolluants organiques	1497	Ethybenzène
Micropolluants organiques	5648	Ethylène thiourée
Micropolluants organiques	6601	Ethylène Utrée
Micropolluants organiques	2629	Ethynyl estradiol
Micropolluants organiques	5625	Etoxazole
Micropolluants organiques	5760	Etrinfos
Micropolluants organiques	2020	Famoxadone
Micropolluants organiques	5761	Fampiphur
Micropolluants organiques	2057	Fénamidone
Micropolluants organiques	1185	Fénarimol
Micropolluants organiques	2742	Fénazaquin
Micropolluants organiques	1906	Fenbutaconazole
Micropolluants organiques	2078	Fenbutatin oxyde
Micropolluants organiques	7513	Fenchlorazole-éthyl
Micropolluants organiques	1186	Fencloriphos
Micropolluants organiques	2743	Fenhexamid
Micropolluants organiques	1187	Fénitrothion
Micropolluants organiques	5627	Fenizon
Micropolluants organiques	5763	Fenobucarb
Micropolluants organiques	5368	Fenofibrate
Micropolluants organiques	6970	Fenoprofen
Micropolluants organiques	5970	Fenthioicarbe
Micropolluants organiques	1973	Fénoxaprop éthyl
Micropolluants organiques	1967	Fénoxycarbe
Micropolluants organiques	1188	Fenpropothine
Micropolluants organiques	1700	Fenpropidine
Micropolluants organiques	1189	Fenpropimorph
Micropolluants organiques	1190	Fenthion
Micropolluants organiques	1500	Fénuron
Micropolluants organiques	1701	Fenvalératate
Micropolluants organiques	2009	Fipronil
Micropolluants organiques	1840	Flamprop-isopropyl
Micropolluants organiques	6539	Flamprop-méthyl
Micropolluants organiques	1939	Flazasulfuron
Micropolluants organiques	6393	Floricanid
Micropolluants organiques	2810	Florasulam
Micropolluants organiques	6764	Florfenicol
Micropolluants organiques	6545	Fluazifop
Micropolluants organiques	1825	Fluazifop-butyl
Micropolluants organiques	2984	Fluazinam
Micropolluants organiques	2022	Fludiconil
Micropolluants organiques	1676	Fluénoxuron
Micropolluants organiques	2023	Flumioxazine
Micropolluants organiques	1501	Fluometuron
Micropolluants organiques	1191	Fluoranthène
Micropolluants organiques	1623	Fluorene
Fluorures	7073	
Fluoxastrobine	5638	
Fluxetine	5373	
Flupyralsulfuron méthyle	2565	
Fluquinconazole	2056	
Fluridine	1974	
Flurochloridone	1675	
Fluroxypyr	1785	
Fluroxypyr-méthyl	2547	
Flurprimidol	2024	
Flurtamone	2008	
Flusilazole	1194	
Fonofos	2985	
Flutolanil	1503	
Flutriafol	1192	
Folpel	2075	
Fomesafen	1702	
Formothione	1674	
Foramsulfuron	2806	
Forchlorfenuron	5969	
Formaldéhyde	2744	
Forméatanate	1703	
Formothion	1504	
Formothiol	1975	
Foséthyl aluminium	2744	
Fosthiazate	1702	
Furalaxy	1908	
Furathiocarbe	2567	
Furilazole	7441	
Furosemide	5364	
gamma-Hexabromocyclododecane	6653	
Gemfibrozil	5365	
Glufosinate	1526	
Glutamate-ammonium	2731	
Glyphosate	1506	
Halosulfuron-méthyl	5508	
Haloxytop	2047	
Haloxytop-éthoxyéthyl	1833	
HCH alpha	1200	
HCH beta	1201	
HCH delta	1202	
HCH epsilon	2046	
HCH gamma	1203	
Heptabromodiphényléther	2599	
Heptachlore	1197	
Heptachlore époxide cis	1748	
Heptachlore époxide trans	1749	
Heptenophos	1910	
Hexabromodiphényléther	2600	
Hexachlorobenzène	1199	
Hexachlorbutadiène	1652	
Hexachloroéthane	1656	
Hexaconazole	1405	
Hexafluoruron	1875	
Hexazinone	1673	
Hexythiazox	1876	
Ibuprofene	5350	
Infosfamide	6727	

Type	Code SANDRE	Paramètre
Micropolluants organiques	1704	Imazalil
Micropolluants organiques	1695	Imazaméthabenz
Micropolluants organiques	1911	Imazaméthabenz méthyl
Micropolluants organiques	2986	Imazamox
Micropolluants organiques	2090	Imazapyr
Micropolluants organiques	2860	Imazaquine
Micropolluants organiques	7510	Imibenconazole
Micropolluants organiques	1877	Imidaclopride
Micropolluants organiques	6971	Imipramine
Micropolluants organiques	1204	Indéno (123c) Pyrène
Micropolluants organiques	6794	Indometacine
Micropolluants organiques	5483	Indoxacarbe
Micropolluants organiques	2741	Iodoacarbe
Micropolluants organiques	2025	Iodophénophos
Micropolluants organiques	2563	Iodosulfuron
Micropolluants organiques	1205	Ioxynil
Micropolluants organiques	2871	Ioxynil methyl ester
Micropolluants organiques	1942	Ioxynil octanoate
Micropolluants organiques	7508	Ipoconazole
Micropolluants organiques	5777	Iprobenfos
Micropolluants organiques	1206	Iprodione
Micropolluants organiques	2951	Iprovalicarbe
Micropolluants organiques	6535	Irbesartan
Micropolluants organiques	1935	Irgarol
Micropolluants organiques	1976	Isazofos
Micropolluants organiques	1836	Isobutylbenzène
Micropolluants organiques	1207	Isodrine
Micropolluants organiques	1829	Isofentophos
Micropolluants organiques	5781	Isopropcarb
Micropolluants organiques	1633	Isopropylbenzène
Micropolluants organiques	2681	Isopropyltoluène o
Micropolluants organiques	1856	Isopropyltoluène p
Micropolluants organiques	1208	Isoproturon
Micropolluants organiques	6643	Isoquinoline
Micropolluants organiques	2722	Isothiocyanate de méthyle
Micropolluants organiques	1672	Isoxaben
Micropolluants organiques	2807	Isoxadifen-éthyle
Micropolluants organiques	1945	Isoxafutol
Micropolluants organiques	5784	Isoxathion
Micropolluants organiques	7505	Karbutilate
Micropolluants organiques	5353	Kelopofene
Micropolluants organiques	7669	Keirolac
Micropolluants organiques	1950	Kresoxim méthyl
Micropolluants organiques	1094	Lambda Cyhalothrine
Micropolluants organiques	1406	Lénacile
Micropolluants organiques	6770	Levonorgestrel
Micropolluants organiques	6570	Linchomycine
Micropolluants organiques	1209	Linuron
Micropolluants organiques	5374	Lorazepam
Micropolluants organiques	2026	Luféuron
Micropolluants organiques	1210	Malathion
Micropolluants organiques	5787	Malathion-o-analog
Micropolluants organiques	7327	Maléate de Timolol
Micropolluants organiques	1211	Mancozébe
Micropolluants organiques	6399	Mandipropamid
Micropolluants organiques	1705	Mandébe
Micropolluants organiques	6700	Marbofoxacine
Micropolluants organiques	2745	MCPA-1-butyl ester
Micropolluants organiques	2746	MCPA-2-ethylhexyl ester
Micropolluants organiques	2747	MCPA-butoxyethyl ester
Micropolluants organiques	2748	MCPA-ethyl-ester
Micropolluants organiques	2749	MCPA-méthyl-ester
Micropolluants organiques	5789	Mecarbam
Micropolluants organiques	1214	Mécoprop
Micropolluants organiques	2870	Mécoprop n isobutyl ester
Micropolluants organiques	2750	Mécoprop-1-octyl ester
Micropolluants organiques	2751	Mécoprop-2, 4,4'-triméthylphényl ester
Micropolluants organiques	2752	Mécoprop-2-butoxyethyl ester
Micropolluants organiques	2753	Mécoprop-2-éthylhexyl ester
Micropolluants organiques	2754	Mécoprop-2-octyl ester
Micropolluants organiques	2755	Mécoprop-méthyl ester
Micropolluants organiques	1968	Méfenacet
Micropolluants organiques	2930	Méfemipyrid diethyl
Micropolluants organiques	2568	Mefluidide
Micropolluants organiques	2987	Méfonoxam
Micropolluants organiques	5533	Mepanipyrim
Micropolluants organiques	5791	Mephosfolan
Micropolluants organiques	1969	Mépiquat
Micropolluants organiques	2089	Mépiquat chlorure
Micropolluants organiques	6521	Mepivacaïne
Micropolluants organiques	1878	Mépronil
Micropolluants organiques	1510	Mercaptodiméthyl sulfoxyde
Micropolluants organiques	1804	Mercaptodiméthyl sulfonyde
Micropolluants organiques	2578	Mesotetone
Micropolluants organiques	6579	Meta ,Para-Cresol
Micropolluants organiques	1706	Métalaxyl
Micropolluants organiques	1796	Métaldéhyde
Micropolluants organiques	1215	Métramitrone
Micropolluants organiques	1670	Métazaclore
Micropolluants organiques	1879	Metonazole
Micropolluants organiques	1216	Méthabenzthiazuron
Micropolluants organiques	5792	Méthacritios
Micropolluants organiques	1671	Méthamidophos
Micropolluants organiques	1217	Méthidathion
Micropolluants organiques	1218	Méthony
Micropolluants organiques	6793	Méthotrexate
Micropolluants organiques	1511	Méthoxychlore
Micropolluants organiques	1619	Méthyl-2-Fluoranthène
Micropolluants organiques	1618	Méthyl-2-Naphthalène
Micropolluants organiques	2067	Metiram
Micropolluants organiques	1515	Métiobromuron
Micropolluants organiques	1221	Métiolachlore
Micropolluants organiques	5796	Métilcarb
Micropolluants organiques	5362	Metoprolol
Micropolluants organiques	1912	Métosulame
Micropolluants organiques	1222	Métoxuron
Micropolluants organiques	5654	Metrafenone
Micropolluants organiques	1225	Méribuzine
Micropolluants organiques	1797	Metsulfuron méthyl
Micropolluants organiques	1226	Mévinphos
Micropolluants organiques	7143	Mexacarbate
Micropolluants organiques	1707	Molinate
Micropolluants organiques	2542	Monobutyl/étain cation

Type	Code SANDRE	Paramètre
Micropolluants organiques	1243	PCB 118
Micropolluants organiques	5434	PCB 123
Micropolluants organiques	2943	PCB 125
Micropolluants organiques	1089	PCB 126
Micropolluants organiques	1884	PCB 128
Micropolluants organiques	1244	PCB 138
Micropolluants organiques	1885	PCB 149
Micropolluants organiques	1245	PCB 153
Micropolluants organiques	2032	PCB 156
Micropolluants organiques	5435	PCB 157
Micropolluants organiques	5436	PCB 167
Micropolluants organiques	1090	PCB 169
Micropolluants organiques	1626	PCB 170
Micropolluants organiques	1246	PCB 180
Micropolluants organiques	5437	PCB 189
Micropolluants organiques	1625	PCB 194
Micropolluants organiques	1624	PCB 209
Micropolluants organiques	1239	PCB 28
Micropolluants organiques	1886	PCB 31
Micropolluants organiques	1240	PCB 35
Micropolluants organiques	2031	PCB 37
Micropolluants organiques	1628	PCB 44
Micropolluants organiques	1241	PCB 52
Micropolluants organiques	2048	PCB 54
Micropolluants organiques	5803	PCB 66
Micropolluants organiques	1091	PCB 77
Micropolluants organiques	5432	PCB 81
Pentachlorobenzène	1762	Pentachlorophénol
Pencycuron	1887	Pentahydropyridine
Perdiméthaline	1234	Pentoxyfylline
Penoxsulam	6394	Perchlorate
Perfluorooctanesulfonamide (PFOSA)	1888	Perfluorooctane sulfonamide (PFOSA)
Permethrine	1235	Permethrine
Penthophytol	7509	Phénamiphos
Phénanthrène	7670	Phénazine
Phénazole	6219	Phénazon
Phénmèdiphame	6548	Phénmèdiphame
Phensalone	1523	Phensalone
Phenoxytoin	1499	Phenoxytoin
Phorate	1524	Phorate
Phosalone	5420	Phosalone
Phosmet	1236	Phosmet
Phosphamidon	5813	Phosphamidon
Phoxime	1665	Phoxime
Piclorame	1708	Piclorame
Picolinaten	5665	Picolinaten
Picosystrobine	2669	Picosystrobine
Piperonil butoxide	1709	Piperonil butoxide
Piperophos	5819	Piperophos
Primicarbe	1528	Primicarbe
Primicarbe Desmethyl	5531	Primicarbe Desmethyl
Micropolluants organiques	1880	Monocrotophos
Micropolluants organiques	1227	Monolinuron
Micropolluants organiques	7496	Monooctylétain cation
Micropolluants organiques	7497	Muronur
Micropolluants organiques	1228	Morpholine
Micropolluants organiques	6671	Morpholine
Micropolluants organiques	7475	MTBE
Micropolluants organiques	1512	Musc xylène
Micropolluants organiques	6342	Myclobutanil
Micropolluants organiques	1881	Nadolol
Micropolluants organiques	6443	Naled
Micropolluants organiques	1516	Naphtalene
Micropolluants organiques	1517	Naphitol-1
Micropolluants organiques	1518	Napropamide
Micropolluants organiques	1519	Naproxene
Micropolluants organiques	5351	Naptalame
Micropolluants organiques	1937	Néburon
Micropolluants organiques	1520	Nicosulfuron
Micropolluants organiques	1882	Nicoïne
Micropolluants organiques	5657	Nitrobenzène
Micropolluants organiques	2614	Nitrofloxacine
Micropolluants organiques	1229	Nitrofène
Micropolluants organiques	1637	Nitrophénol-2
Micropolluants organiques	1957	Nonylphénols
Micropolluants organiques	5400	Norethindrone
Micropolluants organiques	6761	Norflouxacine
Micropolluants organiques	6772	Norfloukétine
Micropolluants organiques	1669	Norfuralazon
Micropolluants organiques	2737	Norfuralzon desméthyl
Micropolluants organiques	1883	Nuarmol
Octabromodiphénylylether	2609	Oxytiphénols
Octylphénols	2904	O-Deméthyltriamadol
Oxadiazol	6767	Ofoxacine
Ofurace	6533	Oxazépam
Ométhoate	2027	Oxidiazon
Oyzalin	1230	Oxidixyl
Oxazépam	1668	Oxamyl
Oxazifuron	5510	Oxyfluorène
Oxidargyl	2068	Oxytétracycline
Oxadiazon	1667	p-(n-octyl)phénol
Oxidixyl	1666	Pacobutrazole
Oxamyl	1850	Paraxon
Oxazépam	5375	Parquat
Oxycodone	6682	Par-sec-butylphénol
Oxytétramion méthyl	1231	Parathion éthyl
Oxyfluorène	1952	Parathion méthyl
Oxytetracycline	6532	Parathion mésylate
Oxytétracycline	1920	PCB 101
Oxytetracycline	2545	PCB 105
Oxytetracycline	5806	Paroxon
Oxytetracycline	1522	Parquat
Oxytetracycline	2618	Parathion mésylate
Oxytetracycline	1232	Parathion mésylate
Oxytetracycline	1233	PCB 114
Oxytetracycline	1242	PCB 105
Oxytetracycline	1627	PCB 114
Oxytetracycline	5433	PCB 114

Type	Code SANDRE	Paramètre
Micropolluants organiques	5532	Primicarbe Formamido Desmethyl
Micropolluants organiques	7668	Piroxicam
Micropolluants organiques	5821	p-Nitrotoluene
Micropolluants organiques	6734	Prednisolone
Micropolluants organiques	1949	Prétilachlore
Micropolluants organiques	6531	Prilocaine
Micropolluants organiques	6847	Pristinamycine II A
Micropolluants organiques	1253	Prochloraze
Micropolluants organiques	1664	Procyclidone
Micropolluants organiques	1889	Profénofos
Micropolluants organiques	5402	Progesterone
Micropolluants organiques	1710	Promécarbe
Micropolluants organiques	1711	Prométon
Micropolluants organiques	1254	Prométryne
Micropolluants organiques	1712	Propachlore
Micropolluants organiques	6398	Propamocarb
Micropolluants organiques	1532	Propanil
Micropolluants organiques	6964	Propaphos
Micropolluants organiques	1972	Propaquazop
Micropolluants organiques	1255	Propargite
Micropolluants organiques	1256	Propazine
Micropolluants organiques	5968	Propazine 2-hydroxy
Micropolluants organiques	1533	Propétamphos
Micropolluants organiques	1534	Prophame
Micropolluants organiques	1257	Propiconazole
Micropolluants organiques	2989	Propinèbe
Micropolluants organiques	1535	Propoxur
Micropolluants organiques	5602	Propoxycarbazone-sodium
Micropolluants organiques	5363	Propranolol
Micropolluants organiques	1837	Propylbenzène
Micropolluants organiques	6214	Propylène thiourée
Micropolluants organiques	5421	Propylphénazole
Micropolluants organiques	1414	Propyzamide
Micropolluants organiques	7422	Proquinazid
Micropolluants organiques	1092	Prosulfocarbe
Micropolluants organiques	2534	Prosulfuron
Micropolluants organiques	5603	Prothioconazole
Micropolluants organiques	7442	Proximpham
Micropolluants organiques	5416	Pymétrozine
Micropolluants organiques	6611	Pyraclofos
Micropolluants organiques	2576	Pyraclostrobine
Micropolluants organiques	5509	Pyraflufen-ethyl
Micropolluants organiques	1258	Pyrazophos
Micropolluants organiques	6386	Pyrazosulfuron-ethyl
Micropolluants organiques	6530	Pyrazoxyfen
Micropolluants organiques	1537	Pyréne
Micropolluants organiques	5826	Pyribitacab
Micropolluants organiques	1890	Pyridabène
Micropolluants organiques	5606	Pyridapenthion
Micropolluants organiques	1259	Pyridate
Micropolluants organiques	1663	Pyrifénox
Micropolluants organiques	1432	Pyriméthanal
Micropolluants organiques	1260	Pyrimiphos éthyl
Micropolluants organiques	1261	Pyrimiphos méthyl
Micropolluants organiques	5499	Pyriproxyfène
Micropolluants organiques	7340	Pyroxsulam
Micropolluants organiques	1891	Quinalphos
Micropolluants organiques	2087	Quinimerac
Micropolluants organiques	2028	Quinoxysten
Micropolluants organiques	1538	Quintozène
Micropolluants organiques	2069	Quizalofop éthyl
Micropolluants organiques	2070	Ranitidine
Micropolluants organiques	6529	Resmethylrine
Micropolluants organiques	2859	Rimsulfuron
Micropolluants organiques	1892	Rotérolone
Micropolluants organiques	2929	S Métolachlore
Micropolluants organiques	2974	Salbutamol
Micropolluants organiques	6527	Sébutylazine
Micropolluants organiques	1923	Sébutylazine 2-hydroxy
Micropolluants organiques	6101	Sébutylazine déséthyl
Micropolluants organiques	5981	Sebumetenon
Micropolluants organiques	1292	Sétraline
Micropolluants organiques	6769	Séthoxydime
Micropolluants organiques	1808	Sliduron
Micropolluants organiques	1893	Silitiopham
Micropolluants organiques	5609	Silvex
Micropolluants organiques	1539	Simazine
Micropolluants organiques	1263	Simazine hydroxy
Micropolluants organiques	1831	Simétyne
Micropolluants organiques	5477	Simvastatine
Micropolluants organiques	5358	Sotalol
Micropolluants organiques	5424	Spinosad
Micropolluants organiques	5610	Spirotetramat
Micropolluants organiques	7506	Spiroxamine
Micropolluants organiques	2664	Spiroxamine s-Tiazin-2-ol, 4-amino-6-(éthylamino)
Micropolluants organiques	3160	Syrène
Micropolluants organiques	1541	Sulfocitone
Micropolluants organiques	1662	Sulfamethoxazole
Micropolluants organiques	5356	Sulfotep
Micropolluants organiques	6575	Sulfagquinolaxine
Micropolluants organiques	6662	Sulfuramid (Ef-O-OSA)
Micropolluants organiques	5507	Sulfométhuron-méthyl
Micropolluants organiques	2085	Sulfosulfuron
Micropolluants organiques	1894	Suprofós
Micropolluants organiques	5831	Taifluvalinate
Micropolluants organiques	1193	Tébuconazole
Micropolluants organiques	1694	Tébufenozide
Micropolluants organiques	1895	Tébuténozide
Micropolluants organiques	1896	Tébutenopyrad
Micropolluants organiques	7511	Tébupirimifos
Micropolluants organiques	1661	Tébutame
Micropolluants organiques	1542	Tébuthiuron
Micropolluants organiques	5413	Tecnazène
Micropolluants organiques	1897	Teflubenzuron
Micropolluants organiques	1953	Téfluthrine
Micropolluants organiques	7086	Tembotrone
Micropolluants organiques	1898	Téméphos
Micropolluants organiques	1659	Terbacile
Micropolluants organiques	5835	Terbucarb
Micropolluants organiques	1286	Terbuméton
Micropolluants organiques	1267	Terbuphos
Micropolluants organiques	6963	Terbutaline
Micropolluants organiques	1288	Terbutylazine
Micropolluants organiques	2045	Terbutylazine déséthyl

Type	Code SANDRE	Paramètre
Micropolluants organiques	1285	Trichloréthane-1,1,2
Micropolluants organiques	1286	Trichloréthylène
Micropolluants organiques	1287	Trichlorofon
Micropolluants organiques	2734	Trichloroaniline-2,3,4
Micropolluants organiques	7017	Trichloroaniline-2,3,5
Micropolluants organiques	2732	Trichloroaniline-2,4,5
Micropolluants organiques	1595	Trichloroaniline-2,4,6
Micropolluants organiques	1630	Trichlorobenzène-1,2,3
Micropolluants organiques	1283	Trichlorobenzène-1,2,4
Micropolluants organiques	1629	Trichlorobenzène-1,3,5
Micropolluants organiques	1195	Trichlorofluorométhane
Micropolluants organiques	1644	Trichlorophénol-2,3,4
Micropolluants organiques	1643	Trichloropropane-2,3,5
Micropolluants organiques	1642	Trichlorotrifluoroéthane-1,1,2
Micropolluants organiques	1548	Trichlorophénol-2,4,5
Micropolluants organiques	1549	Trichlorophénol-2,4,6
Micropolluants organiques	1723	Trichlorophénol-3,4,5
Micropolluants organiques	1854	Trichloropropane-1,2,3
Micropolluants organiques	1196	Trichlorotrifluoroéthane-1,1,2
Micropolluants organiques	2888	Tricyclazole
Micropolluants organiques	2885	Tricyclohexyletan cation
Micropolluants organiques	1811	Tridémorphe
Micropolluants organiques	5842	Triétazine
Micropolluants organiques	6102	Triétazine 2-hydroxy
Micropolluants organiques	5971	Triétazine désethyl
Micropolluants organiques	2678	Trifoxystrobine
Micropolluants organiques	1902	Triflumuron
Micropolluants organiques	1289	Trifluraline
Micropolluants organiques	2991	Triflusulfuron-méthyl
Micropolluants organiques	1802	Trifoline
Micropolluants organiques	5357	Triméthoprime
Micropolluants organiques	1857	Triméthylbenzène-1,2,3
Micropolluants organiques	1609	Triméthylbenzène-1,2,4
Micropolluants organiques	1509	Triméthylbenzène-1,3,5
Micropolluants organiques	2096	Trinexapac-éthyl
Micropolluants organiques	2886	Troctylétan cation
Micropolluants organiques	6372	Triphenyletan cation
Micropolluants organiques	2992	Trictonazole
Micropolluants organiques	7482	Uniconazole
Micropolluants organiques	1290	Vamidothion
Micropolluants organiques	1291	Vinclozoline
Micropolluants organiques	1293	Xyliène-méta
Micropolluants organiques	1292	Xyliène-ortho
Micropolluants organiques	1294	Xyliène-para
Micropolluants organiques	2925	Xyliènes (m+p)
Micropolluants organiques	1721	Zihébe
Micropolluants organiques	5376	Zolidém
Micropolluants organiques	2888	Zoxamide
Micropolluants organiques	1284	Trichloréthane-1,1,1
Micropolluants organiques	2064	Tribenuron-Méthyle
Micropolluants organiques	5840	Tributyl phosphorotrithioïde
Micropolluants organiques	2879	Tributylétan cation
Micropolluants organiques	1847	Tributylphosphate
Micropolluants organiques	1288	Trichlopyr
Micropolluants organiques	1284	Trichloréthane-1,1,1
Type	Code SANDRE	Paramètre
Micropolluants organiques	1954	Terbutylazine hydroxy
Micropolluants organiques	1269	Terbutryne
Micropolluants organiques	5384	Testosterone
Micropolluants organiques	1936	Tétrahydropétaïne
Micropolluants organiques	1270	Tétrachloréthane-1,1,1,2
Micropolluants organiques	1271	Tétrachloréthane-1,1,2,2
Micropolluants organiques	1272	Tétrachloréthylène
Micropolluants organiques	2010	Tétrachlorobenzène-1,2,3,4
Micropolluants organiques	2536	Tétrachlorobenzène-1,2,3,5
Micropolluants organiques	1631	Tétrachlorobenzène-1,2,4,5
Micropolluants organiques	1273	Tétrachlorophénol-2,3,4,5
Micropolluants organiques	1274	Tétrachlorophénol-2,3,4,6
Micropolluants organiques	1275	Tétrachlorophénol-2,3,5,6
Micropolluants organiques	1276	Tétrachlorure de C
Micropolluants organiques	1277	Tétrachlorowinphos
Micropolluants organiques	1660	Tétraraconazole
Micropolluants organiques	6750	Tetracycline
Micropolluants organiques	1900	Tétradifon
Micropolluants organiques	5249	Tétraphénylétain
Micropolluants organiques	5837	Terasul
Micropolluants organiques	1713	Thiatendazole
Micropolluants organiques	5671	Thiacloprid
Micropolluants organiques	1940	Thiafluanide
Micropolluants organiques	6390	Thiamethoxam
Micropolluants organiques	1714	Thiazasulfuron
Micropolluants organiques	5934	Thidiazuron
Micropolluants organiques	1913	Thifensulfuron méthyl
Micropolluants organiques	7512	Thiocyclam hydrogén oxalate
Micropolluants organiques	1093	Thiodicarbe
Micropolluants organiques	1715	Thiofanox
Micropolluants organiques	5476	Thiofanox sulfone
Micropolluants organiques	5475	Thiofanox sulfonyde
Micropolluants organiques	2071	Thiométon
Micropolluants organiques	5838	Thiomazin
Micropolluants organiques	7514	Thiophane-ethyl
Micropolluants organiques	1717	Thiophanate-méthy
Micropolluants organiques	1718	Thirame
Micropolluants organiques	6524	Ticlopidine
Micropolluants organiques	5922	Tiocarbazil
Micropolluants organiques	5675	Toclotos-méthyl
Micropolluants organiques	1278	Toluene
Micropolluants organiques	1719	Tolylfluanide
Micropolluants organiques	1658	Traométhrine
Micropolluants organiques	6720	Tramadol
Micropolluants organiques	1544	Tradiméton
Micropolluants organiques	1280	Triadiménil
Micropolluants organiques	1281	Trallate
Micropolluants organiques	1914	Trasulfuron
Micropolluants organiques	1901	Triazamate
Micropolluants organiques	1657	Triazophos
Micropolluants organiques	2990	Traz Oxide
Micropolluants organiques	2064	Tribenuron-Méthyle
Micropolluants organiques	5840	Tributyl phosphorotrithioïde
Micropolluants organiques	2879	Tributylétan cation
Micropolluants organiques	1847	Tributylphosphate
Micropolluants organiques	1288	Trichlopyr

Annexe 2

Liste des micropolluants analysés sur sédiments

Type	Code SANDRE	Paramètre
Micropolluants métalliques	1082	Benzo (a) Anthracène
Micropolluants métalliques	1115	Benzo (a) Pyrène
Micropolluants métalliques	1116	Benzo (b) Fluoranthène
Micropolluants métalliques	1118	Benzo (ghi) Pérylène
Micropolluants métalliques	1117	Benzo (k) Fluoranthène
Micropolluants métalliques	1119	Bifénox
Micropolluants métalliques	1584	Biphényle
Micropolluants métalliques	1122	Bromoforme
Micropolluants métalliques	1125	Bromoxynil
Micropolluants métalliques	1941	Bromoxynil octanoate
Micropolluants métalliques	1464	Chlortenophosphos
Micropolluants métalliques	1134	Chlorméphos
Micropolluants métalliques	1955	Chloroalcanes C10-C13
Micropolluants métalliques	1593	Chloroaniline-2
Micropolluants métalliques	1592	Chloroaniline-3
Micropolluants métalliques	1591	Chloroaniline-4
Micropolluants métalliques	1467	Chlorobenzène
Micropolluants métalliques	1612	Chlorodinitrobenzène-1,2,4
Micropolluants métalliques	1135	Chloroforme (Trichlorométhane)
Micropolluants métalliques	1635	Chlorométhylphénol-2,5
Micropolluants métalliques	2759	Chlorométhylphénol-2,6
Micropolluants métalliques	1636	Chlorométhylphénol-4,3
Micropolluants métalliques	1594	Chlornitroaniline-4,2
Micropolluants métalliques	1469	Chlornitrobenzène-1,2
Micropolluants métalliques	1468	Chlornitrobenzène-1,3
Micropolluants métalliques	1470	Chlornitrobenzène-1,4
Micropolluants métalliques	1471	Chlorophénol-2
Micropolluants métalliques	1651	Chlorophénol-3
Micropolluants métalliques	1650	Chlorophénol-4
Micropolluants métalliques	2611	Chloroprène
Micropolluants métalliques	2065	Chloropropène-3
Micropolluants métalliques	1602	Chlorotoluène-2
Micropolluants organiques	1601	Chlorotoluène-3
Micropolluants organiques	1474	Chlorophénol-4
Micropolluants organiques	1083	Chlorypyrophos éthyl
Micropolluants organiques	1540	Chlorypyrophos méthyl
Micropolluants organiques	1476	Chrysène
Micropolluants organiques	2017	Clomazone
Micropolluants organiques	1639	Crésol-méta
Micropolluants organiques	1640	Crésol-ortho
Micropolluants organiques	1638	Crésol-para
Micropolluants organiques	1140	Cyperméthrine
Micropolluants organiques	1680	Cyproconazole
Micropolluants organiques	1359	Cyprodinil
Micropolluants organiques	1143	DDD-o,p'
Micropolluants organiques	1144	DDE-p,p'
Micropolluants organiques	1145	DDE-o,p'
Micropolluants organiques	1146	DDE-p,p'
Micropolluants organiques	1147	DTT-o,p'
Micropolluants organiques	1148	DTT-p,p'
Micropolluants organiques	6616	DEHP
Micropolluants organiques	1149	Deltaméthrine
Micropolluants organiques	1157	Diazinon
Micropolluants organiques	1621	Dibenzo (ah) Anthracène
Micropolluants organiques	1158	Dibromochlorméthane
Micropolluants organiques	1498	Dibromoéthane-1,2

Type	Code SANDRE	Paramètre
Micropolluants métalliques	1370	Aluminium
Micropolluants métalliques	1376	Antimoine
Micropolluants métalliques	1368	Argent
Micropolluants métalliques	1369	Arsenic
Micropolluants métalliques	1396	Baryum
Micropolluants métalliques	1377	Beryllium
Micropolluants métalliques	1362	Bore
Micropolluants métalliques	1388	Cadmium
Micropolluants métalliques	1389	Chrome
Micropolluants métalliques	1379	Cobalt
Micropolluants métalliques	1392	Cuivre
Micropolluants métalliques	1380	Etain
Micropolluants métalliques	1393	Fer
Micropolluants métalliques	1394	Manganèse
Micropolluants métalliques	1387	Mercurie
Micropolluants métalliques	1395	Molybdène
Micropolluants métalliques	1386	Nickel
Micropolluants métalliques	1382	Plomb
Micropolluants métalliques	1385	Séléniium
Micropolluants métalliques	2559	Tellure
Micropolluants métalliques	2555	Thallium
Micropolluants métalliques	1373	Titane
Micropolluants métalliques	1361	Uranium
Micropolluants métalliques	1384	Vanadium
Micropolluants métalliques	1383	Zinc
Micropolluants organiques	5474	4-n-nonylphénol
Micropolluants organiques	1958	4-nonylphénols ramifiés
Micropolluants organiques	2610	4-tert-butylphénol
Micropolluants organiques	1959	4-tert-octylphénol
Micropolluants organiques	1453	Acéraphtène
Micropolluants organiques	1622	Acéraphylène
Micropolluants organiques	1903	Acétochloré
Micropolluants organiques	6560	Acide perfluoroctanesulfonique (PFOS)
Micropolluants organiques	1688	Aclorofén
Micropolluants organiques	1103	Aldrine
Micropolluants organiques	1812	Alphanéthrine
Micropolluants organiques	1458	Anthracène
Micropolluants organiques	1110	Aziphos éthyl
Micropolluants organiques	1951	Azoxystrobine
Micropolluants organiques	5989	BDE 196
Micropolluants organiques	5990	BDE 197
Micropolluants organiques	5991	BDE 198
Micropolluants organiques	5986	BDE 203
Micropolluants organiques	5996	BDE 204
Micropolluants organiques	5997	BDE 205
Micropolluants organiques	2915	BDE 100
Micropolluants organiques	2913	BDE 138
Micropolluants organiques	2912	BDE 153
Micropolluants organiques	2911	BDE 154
Micropolluants organiques	2910	BDE 183
Micropolluants organiques	1815	BDE 209
Micropolluants organiques	2920	BDE 228
Micropolluants organiques	2919	BDE 47
Micropolluants organiques	7437	BDE 77
Micropolluants organiques	2916	BDE 99
Micropolluants organiques	1114	Benzène
Micropolluants organiques	1607	Benzidine

Type	Code SANDRE	Paramètre
Micropolluants organiques	2547	Fluoroxypyr-mepipy
Micropolluants organiques	1194	Flusilazole
Micropolluants organiques	1200	HCH alpha
Micropolluants organiques	1201	HCH beta
Micropolluants organiques	1202	HCH delta
Micropolluants organiques	2046	HCH epsilon
Micropolluants organiques	1203	HCH gamma
Micropolluants organiques	1197	Heptachlore
Micropolluants organiques	1748	Heptachlore époxyde cis
Micropolluants organiques	1749	Heptachlore époxyde trans
Micropolluants organiques	1199	Hexachlorobenzène
Micropolluants organiques	1652	Hexachlorobutadiène
Micropolluants organiques	1656	Hexachloroéthane
Micropolluants organiques	1405	Hexaconazole
Micropolluants organiques	1204	Indénol (123c) Pyrène
Micropolluants organiques	1206	Iprodione
Micropolluants organiques	1935	Igarol
Micropolluants organiques	1207	Isoiodine
Micropolluants organiques	1633	Isopropylbenzène
Micropolluants organiques	1950	Kresoxim méthyl
Micropolluants organiques	1094	Lambda Cyhalothrine
Micropolluants organiques	1209	Linuron
Micropolluants organiques	1619	Méthyl-2-Fluorathène
Micropolluants organiques	1618	Méthyl-2-Naphthalène
Micropolluants organiques	2542	Monobutylétain cation
Micropolluants organiques	7496	Monooctyletaiin cation
Micropolluants organiques	7497	Monophénylétain cation
Micropolluants organiques	1517	Naphthalène
Micropolluants organiques	1519	Napropamide
Micropolluants organiques	1637	Nitrophénol-2
Micropolluants organiques	1957	Nonylphénols
Micropolluants organiques	1669	Norfurazone
Micropolluants organiques	1667	Oxadiazon
Micropolluants organiques	1920	p-(n-octyl)phénol
Micropolluants organiques	1232	Parathion éthyl
Micropolluants organiques	1242	PCB 101
Micropolluants organiques	1627	PCB 105
Micropolluants organiques	5433	PCB 114
Micropolluants organiques	1243	PCB 118
Micropolluants organiques	5434	PCB 123
Micropolluants organiques	1089	PCB 126
Micropolluants organiques	1244	PCB 138
Micropolluants organiques	1245	PCB 153
Micropolluants organiques	2032	PCB 156
Micropolluants organiques	5435	PCB 157
Micropolluants organiques	5436	PCB 167
Micropolluants organiques	1090	PCB 169
Micropolluants organiques	1624	PCB 209
Micropolluants organiques	1239	PCB 28
Micropolluants organiques	1240	PCB 35
Micropolluants organiques	1628	PCB 44
Micropolluants organiques	1241	PCB 52
Micropolluants organiques	1091	PCB 77

Type	Paramètre	Code SANDRE
Micropolluants organiques	PCB 81	5432
Micropolluants organiques	Pendiméthaline	1234
Micropolluants organiques	Pentachlorobenzène	1888
Micropolluants organiques	Pentachlorophénol	1235
Micropolluants organiques	Phénanthrène	1524
Micropolluants organiques	Phoxime	1665
Micropolluants organiques	Procymidone	1664
Micropolluants organiques	Propyzamide	1414
Micropolluants organiques	Pyrène	1537
Micropolluants organiques	Quinoxifen	2028
Micropolluants organiques	Sulcotionone	1662
Micropolluants organiques	Tébuconazole	1694
Micropolluants organiques	Tebutame	1661
Micropolluants organiques	Terbutylazine	1268
Micropolluants organiques	Terbutryne	1269
Micropolluants organiques	Tetrabutylétain	1986
Micropolluants organiques	Tétrachlorobenzène-1,1,1,2	1270
Micropolluants organiques	Tétrachlorobenzène-1,1,2,2	1271
Micropolluants organiques	Tétrachlorothétylène	1272
Micropolluants organiques	Tétrachlorobenzène-1,2,3,4	2010
Micropolluants organiques	Tétrachlorobenzène-1,2,3,5	2536
Micropolluants organiques	Tétrachlorobenzène-1,2,4,5	1681
Micropolluants organiques	Tétrachlorophénol-2,3,4,5	1273
Micropolluants organiques	Tétrachlorophénol-2,3,4,6	1274
Micropolluants organiques	Tétrachlorophénol-2,3,5,6	1275
Micropolluants organiques	Tétrachlorure de C	1276
Micropolluants organiques	Tétraconazole	1660
Micropolluants organiques	Tolène	1278
Micropolluants organiques	Trichlorotrifluoroéthane	6506
Micropolluants organiques	Tributyletian cation	2879
Micropolluants organiques	Tributylphosphate	1847
Micropolluants organiques	Trichlopyr	1288
Micropolluants organiques	Trichloréthane-1,1,1	1284
Micropolluants organiques	Trichloréthane-1,1,2	1285
Micropolluants organiques	Trichloréthyène	1286
Micropolluants organiques	Trichloroaniline-2,3,4	2734
Micropolluants organiques	Trichloroaniline-2,3,5	7017
Micropolluants organiques	Trichlorobenzène-1,2,3	2732
Micropolluants organiques	Trichlorobenzène-1,2,4	1595
Micropolluants organiques	Trichlorobenzène-1,3,5	1630
Micropolluants organiques	Trichlorobenzène-1,3,5	1283
Micropolluants organiques	Trichlorofluorométhane	1629
Micropolluants organiques	Trichlorophénol-2,4,5	1195
Micropolluants organiques	Trichlorophénol-2,3,4	1644
Micropolluants organiques	Trichlorophénol-2,3,5	1643
Micropolluants organiques	Trichlorophénol-2,3,6	1642
Micropolluants organiques	Trichlorophénol-2,4,5	1548
Micropolluants organiques	Trichlorophénol-2,4,6	1549
Micropolluants organiques	Trichlorophénol-3,4,5	1723
Micropolluants organiques	Tricyclohexyletian cation	2885
Micropolluants organiques	Trifluaroline	1289
Micropolluants organiques	Trinitrotoluène	2736
Micropolluants organiques	Triocytietian cation	2886
Micropolluants organiques	Triphenyletian cation	6372
Micropolluants organiques	Xyliene-méta	1293
Micropolluants organiques	Xyliene-ortho	1292
Micropolluants organiques	Xyliene-para	1294

Annexe 3

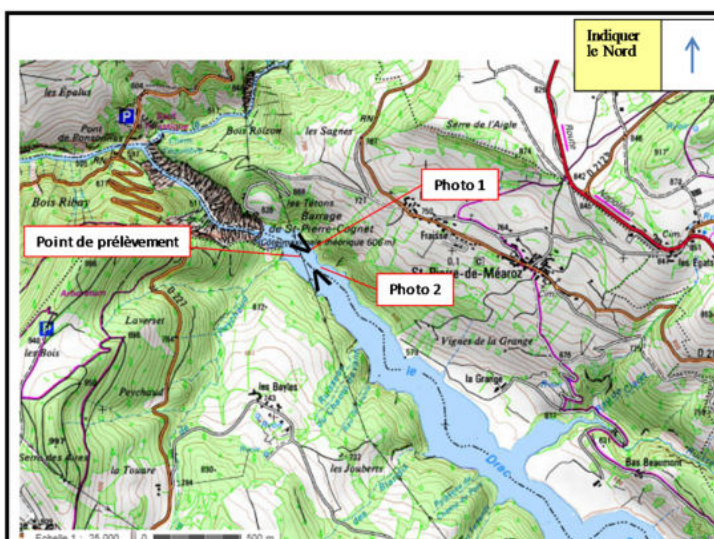
Comptes rendus des campagnes de prélèvements physico-chimiques et phytoplanctoniques

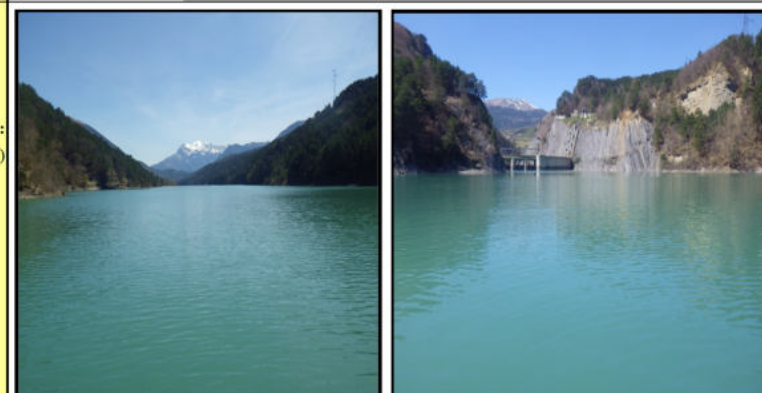
Relevé phytoplanctonique en plan d'eau

DONNEES GENERALES PLAN D'EAU - STATION

v.3.3.1
Septembre 2009

Plan d'eau :	Retenue de Saint-Pierre-Cognet	Date :	15/04/2015
Nom station :	Point profond	Code station :	W222500
Organisme / opérateur :	GREBE / E. Bourgeot - A. Olivetto	Réf dossier :	AERMC PL

LOCALISATION PLAN D'EAU			
Commune :	Saint-Laurent-en-Beaumont (38)		
Plan d'eau naissant :	.../...	Superficie du bassin versant :	km ²
HER :	5 – Jura - Préalpes du nord	Superficie du plan d'eau :	1,07 km ²
Profondeur maximale théorique :	75 m	Profondeur moyenne :	m
Carte :	 <p>(extrait IGN 1/25 000 ème)</p>		

LOCALISATION STATION			
Coordonnées du point :	relevées sur :	GPS	
Lambert 93 (système français) :	(en m)	X	Y
		921633	6423516
WGS 84 (système international) :	données GPS (en dms)	N	Altitude (m)
Profondeur :	38	m	
Photos du site :	 <p>(indiquer l'angle de prise de vue sur la carte)</p>		
Remarques et observations :	<p>Profondeur = Profondeur maximale mesurée le jour du prélèvement au niveau du point de mesure.</p> <p>Photo 1 : Vue vers l'amont depuis le point de prélèvement. Photo 2 : Vue vers l'ouvrage depuis le point de prélèvement.</p>		

<i>Relevé phytoplanctonique en plan d'eau</i>	v.3.3.2
DONNEES GENERALES CAMPAGNE	juin 2012

Plan d'eau :	Retenue de Saint-Pierre-Cognet	Date :	15/04/2015
Station ou n° d'échantillon :	Point profond	Code lac :	W222500
Organisme / opérateur :	GREBE / E Bourgeot - A. Olivetto	Réf. dossier :	AERMC PE

STATION					
Coordonnées de la station	relevées sur :	GPS			
Lambert 93 (système français)	(en m)	X 921633	Y 6423516	Altitude (m) :	576,0
WGS 84 (système international)	données GPS (en dms)	N		Altitude (m) :	
Profondeur (m) :	37,5				
Conditions d'observation :	Intensité du vent :	faible			
	météo :	temps sec ensoleillé			
	Surface de l'eau :	faiblement agitée			
	Hauteur des vagues :	0,05			m
	Bloom algal :	non			
Marnage :	non	niveau des eaux par rapport à la végétation de ceinture (pour les plans d'eau marnant) :	0	m	
Remarques :					

PRELEVEMENTS				
Heure début de relevé :	13:00	Heure de fin de relevé :	17:30	
Prélèvements réalisés :	<input checked="" type="checkbox"/> phytoplancton	Matériel employé :	<input type="checkbox"/> bouteille intégratrice	
	<input checked="" type="checkbox"/> chlorophylle		<input checked="" type="checkbox"/> bouteille Van Dorn	
	<input checked="" type="checkbox"/> eau	<input type="checkbox"/> pompe		
	<input type="checkbox"/> sédiment	Volume filtré pour la chlorophylle (ml) :	1000	
<input type="checkbox"/> macrophytes	<input type="checkbox"/> autres, préciser :			
	<input type="checkbox"/> oligochètes	<input type="checkbox"/> Volume de Lugol ajouté pour le phytoplancton (ml) :		2
Remarques, observations :	<p>Dépôt des échantillons d'eau à Carso de Lyon à 16:45.</p> <p>Prélèvement de fond réalisé à 36 m.</p> <p>Prélèvements phytoplancton/chlorophylle/macropolluants/micropolluants réalisés à la bouteille verticale type Van Dorn. Prélèvements réalisés de 0 à 3 m tous les 0,5 m pour la zone euphotique.</p> <p>Température de l'air : 25,7°C - Pression atmosphérique : 958 hpa.</p>			

Relevé phytoplanctonique en plan d'eau

DONNEES PHYSICO-CHIMIQUES

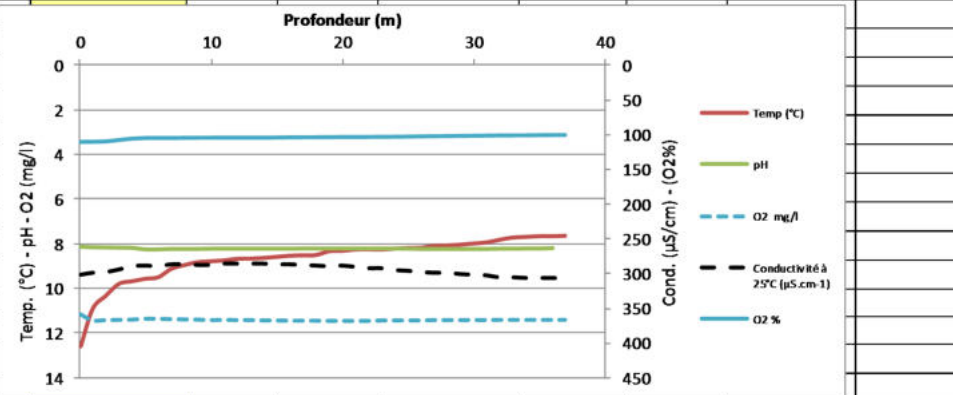
v.3.3.2
juin 2012

Plan d'eau :	Retenue de Saint-Pierre-Cognet	Date :	15/04/2015
Station ou n° d'échantillon :	Point profond	Code lac :	W222500
Organisme / opérateur :	GREBE/ F. Bourgicot - A. Olivetto	Réf. dossier :	AERMC PE

TRANSPARENCE			
Secchi en m :	1,2	Zone euphotique (2,5 x Secchi) en m :	3

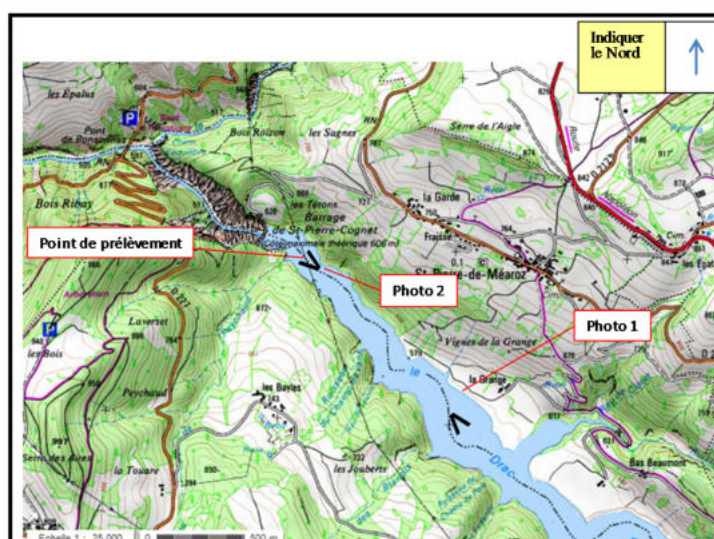
PROFIL VERTICAL

Moyen utilisé :	mesures in-situ à chaque prof.							
Echantillon phytoplancton ?	Prof (m)	Temp (°C)	pH	Conductivité à 25°C ($\mu\text{S.cm}^{-1}$)	O ₂ %	O ₂ mg/l	Chlorophylle µg/l	Heure
Intégré de 0 à ..								
	3							
<input type="checkbox"/>	0,1	12,6	7,77	302,0	111,2	11,2		
<input type="checkbox"/>	1	10,9	8,15	299,0	111,0	11,4		
<input type="checkbox"/>	2	10,3	8,17	298,0	110,5	11,4		
<input type="checkbox"/>	3	9,8	8,18	294,0	108,5	11,4		
<input type="checkbox"/>	4	9,7	8,19	289,0	106,5	11,4		
<input type="checkbox"/>	5	9,6	8,20	288,0	105,6	11,4		
<input type="checkbox"/>	6	9,5	8,27	289,0	105,5	11,4		
<input type="checkbox"/>	7	9,1	8,27	286,0	105,6	11,4		
<input type="checkbox"/>	8	8,9	8,25	286,0	105,3	11,4		
<input type="checkbox"/>	9	8,8	8,25	287,0	105,2	11,4		
<input type="checkbox"/>	10	8,8	8,25	287,0	105,1	11,4		
<input type="checkbox"/>	11	8,7	8,24	285,0	105,1	11,4		
<input type="checkbox"/>	12	8,7	8,24	285,0	105,1	11,4		
<input type="checkbox"/>	13	8,7	8,24	285,0	105,0	11,4		
<input type="checkbox"/>	14	8,6	8,24	285,0	105,1	11,4		
<input type="checkbox"/>	15	8,6	8,24	286,0	104,9	11,4		
<input type="checkbox"/>	16	8,5	8,24	286,0	104,6	11,5		
<input type="checkbox"/>	17	8,5	8,24	287,0	104,5	11,5		
<input type="checkbox"/>	18	8,5	8,23	288,0	104,4	11,5		
<input type="checkbox"/>	19	8,3	8,23	289,0	104,3	11,5		
<input type="checkbox"/>	20	8,3	8,23	288,0	104,1	11,5		
<input type="checkbox"/>	21	8,2	8,23	290,0	104,1	11,5		
<input type="checkbox"/>	22	8,2	8,23	292,0	104,0	11,5		
<input type="checkbox"/>	23	8,2	8,23	292,0	103,9	11,4		
<input type="checkbox"/>	24	8,2	8,23	295,0	103,7	11,4		
<input type="checkbox"/>	25	8,2	8,23	296,0	103,5	11,4		
<input type="checkbox"/>	26	8,2	8,24	298,0	103,2	11,4		
<input type="checkbox"/>	27	8,1	8,25	299,0	102,9	11,4		
<input type="checkbox"/>	28	8,1	8,25	299,0	102,7	11,4		
<input type="checkbox"/>	29	8,0	8,25	301,0	102,5	11,4		
<input type="checkbox"/>	30	8,0	8,25	302,0	102,3	11,4		
<input type="checkbox"/>	31	7,9	8,25	303,0	102,1	11,4		
<input type="checkbox"/>	32	7,8	8,25	306,0	101,8	11,4		
<input type="checkbox"/>	33	7,7	8,24	306,0	101,7	11,4		
<input type="checkbox"/>	34	7,7	8,24	307,0	101,6	11,4		
<input type="checkbox"/>	35	7,6	8,23	307,0	101,4	11,4		
<input type="checkbox"/>	36	7,6	8,23	307,0	101,2	11,4		
<input type="checkbox"/>	37	7,6	8,21	308,0	101,2	11,4		



Relevé phytoplanctonique en plan d'eau v.3.3.1
DONNEES GENERALES PLAN D'EAU - STATION Septembre 2009

Plan d'eau :	Retenue de Saint-Pierre-Cognet	Date :	03/06/2015
Nom station :	Point profond	Code station :	W2225003
Organisme / opérateur :	GREBE/ F. Bourgeot - A. Olivetto	Réf. dossier :	AERMCEPE

LOCALISATION PLAN D'EAU			
Commune :	Saint-laurent-en-Beaumont (38)		
Plan d'eau mariant :	non	Superficie du bassin versant :	km ²
HER :	5 – Jura - Préalpes du nord	Superficie du plan d'eau :	1,07 km ²
Profondeur maximale théorique :	75 m	Profondeur moyenne :	m
Carte :	(extrait IGN 1/25 000 ème)		

LOCALISATION STATION				
Coordonnées du point :	relevées sur :	GPS		
Lambert 93 (système français) :	(en m)	X	Y	Altitude
		921666	6423514	580
WGS 84 (système international) :	données GPS (en dms)	N		Altitude (m)
Profondeur :	38	m		
Photos du site :				
Remarques et observations :	Cote plan d'eau le jour de l'intervention = 577 m NGF			

Relevé phytoplanctonique en plan d'eau

v.3.3.2
juin 2012

DONNEES GENERALES CAMPAGNE

Plan d'eau :	Retenue de Saint-Pierre-Cognet	Date :	03/06/2015
Station ou n° d'échantillon :	Point profond	Code lac :	W2225003
Organisme / opérateur :	GREBE / E. Bourgeot - A. Olivetto	Réf. dossier :	AERMCP

STATION					
Coordonnées de la station	relevées sur :	GPS			
Lambert 93 (système français)	(en m)	X 921666	Y 6423514	Altitude (m) :	580,0
WGS 84 (système international)	données GPS (en dms)	N		Altitude (m) :	
Profondeur (m) :	38				
Conditions d'observation :	Intensité du vent :	nul			
	météo :	temps sec ensoleillé			
	Surface de l'eau :	lisse			
	Hauteur des vagues :	0 m			
	Bloom algal :	non			
Marnage :	non	niveau des eaux par rapport à la végétation de ceinture (pour les plans d'eau marnant) :	0	m	
Remarques :					

PRELEVEMENTS				
Heure début de relevé :	12:30	Heure de fin de relevé :	12:45	
Prélèvements réalisés :	<input checked="" type="checkbox"/> phytoplancton	Matériel employé :	<input type="checkbox"/> bouteille intégratrice	
	<input checked="" type="checkbox"/> chlorophylle		<input checked="" type="checkbox"/> bouteille Van Dorn	
	<input checked="" type="checkbox"/> eau	<input checked="" type="checkbox"/> tuyau		
	<input type="checkbox"/> sédiment	Volume filtré pour la chlorophylle (ml) :	750	
<input type="checkbox"/> macrophytes	<input type="checkbox"/> autres, préciser :			
	Volume de Lugol ajouté pour le phytoplancton (ml) :	3		
Remarques, observations :	Dépôt des échantillons d'eau au TNT Grenoble à 16:30. Prélèvement de fond réalisé à 37 m. Prélèvements phytoplancton/chlorophylle/macropolluants euphotiques réalisés au tuyau (0 à 8,25 m). Prélèvements pour micropolluants euphotiques réalisés à la bouteille Van Dorn. Prélèvements de fond réalisés à la bouteille Van Dorn. Température de l'air : 25,3°C - Pression atmosphérique : 960 hpa.			

Relevé phytoplanctonique en plan d'eau
DONNEES PHYSICO-CHIMIQUES

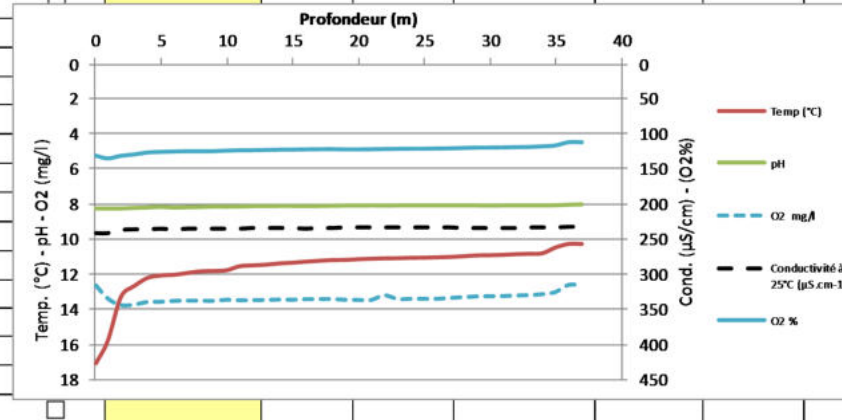
v.3.3.2
juin 2012

Plan d'eau :	Retenue de Saint-Pierre-Cognet	Date :	03/06/2015
Station ou n° d'échantillon :	Point profond	Codk lac :	W2225003
Organisme / opérateur :	CREBE / F. Bourg cot - A. Olivetto	Réf. dossier :	AERMC PE

TRANSPARENCE		Zone euphotique (2,5 x Secchi) en m :	
Secchi en m :	3,3	Zone euphotique (2,5 x Secchi) en m :	8,25

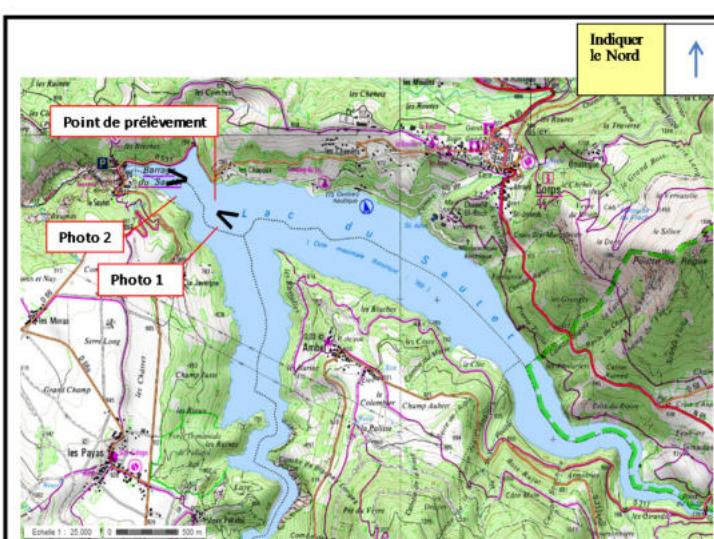
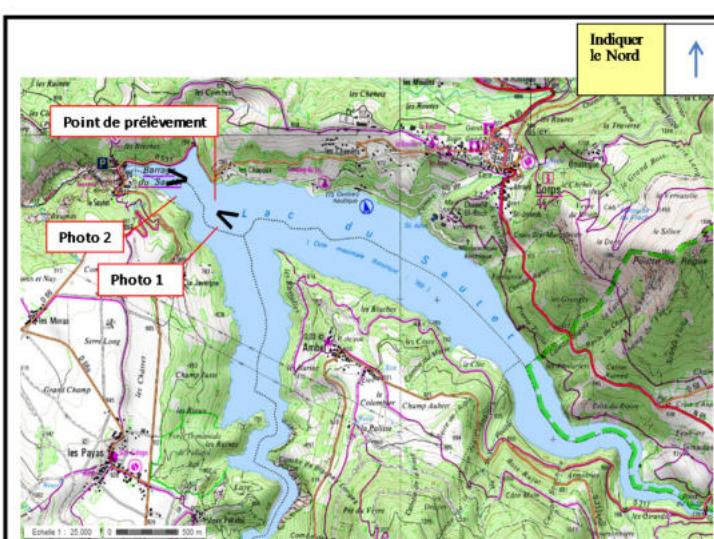
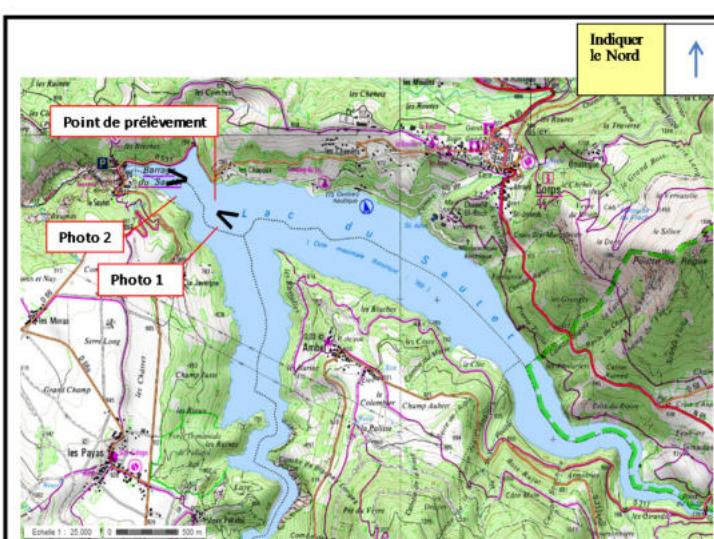
PROFIL VERTICAL

Moyen utilisé :	mesures in-situ à chaque prof.							
Echantillon phytoplancton ?	Prof (m)	Temp (°C)	pH	Conductivité à 25°C ($\mu\text{S.cm}^{-1}$)	O ₂ %	O ₂ mg/l	Chlorophylle µg/l	Heure
<input checked="" type="checkbox"/>	Intégré de 0 à ..							
	3							
<input type="checkbox"/>	0,1	17,1	8,30	242,0	131,3	12,7		
<input type="checkbox"/>	1	15,8	8,30	242,0	134,9	13,4		
<input type="checkbox"/>	2	13,3	8,30	237,0	131,3	13,7		
<input type="checkbox"/>	3	12,7	8,27	236,0	129,5	13,7		
<input type="checkbox"/>	4	12,2	8,25	236,0	126,8	13,6		
<input type="checkbox"/>	5	12,1	8,21	235,0	126,0	13,6		
<input type="checkbox"/>	6	12,1	8,25	236,0	125,5	13,5		
<input type="checkbox"/>	7	12,0	8,23	235,0	125,1	13,5		
<input type="checkbox"/>	8	11,9	8,22	235,0	125,1	13,5		
<input type="checkbox"/>	9	11,8	8,19	235,0	125,0	13,5		
<input type="checkbox"/>	10	11,8	8,20	235,0	124,3	13,4		
<input type="checkbox"/>	11	11,6	8,19	235,0	123,8	13,5		
<input type="checkbox"/>	12	11,5	8,17	234,0	123,7	13,5		
<input type="checkbox"/>	13	11,5	8,17	234,0	123,4	13,5		
<input type="checkbox"/>	14	11,4	8,16	234,0	123,0	13,4		
<input type="checkbox"/>	15	11,4	8,16	234,0	122,9	13,4		
<input type="checkbox"/>	16	11,3	8,17	235,0	122,6	13,4		
<input type="checkbox"/>	17	11,3	8,16	234,0	122,4	13,4		
<input type="checkbox"/>	18	11,2	8,15	234,0	122,3	13,4		
<input type="checkbox"/>	19	11,2	8,14	233,0	122,6	13,4		
<input type="checkbox"/>	20	11,2	8,14	233,0	122,6	13,5		
<input type="checkbox"/>	21	11,1	8,13	233,0	122,4	13,5		
<input type="checkbox"/>	22	11,1	8,14	233,0	122,1	13,2		
<input type="checkbox"/>	23	11,1	8,13	233,0	121,9	13,4		
<input type="checkbox"/>	24	11,1	8,13	233,0	121,7	13,4		
<input type="checkbox"/>	25	11,1	8,13	233,0	121,7	13,4		
<input type="checkbox"/>	26	11,1	8,13	233,0	121,4	13,4		
<input type="checkbox"/>	27	11,0	8,13	233,0	121,2	13,3		
<input type="checkbox"/>	28	11,0	8,13	234,0	120,7	13,3		
<input type="checkbox"/>	29	11,0	8,13	234,0	120,2	13,3		
<input type="checkbox"/>	30	10,9	8,14	234,0	120,1	13,3		
<input type="checkbox"/>	31	10,9	8,13	234,0	119,9	13,2		
<input type="checkbox"/>	32	10,9	8,13	234,0	119,5	13,2		
<input type="checkbox"/>	33	10,9	8,13	233,0	119,3	13,2		
<input type="checkbox"/>	34	10,8	8,13	233,0	118,5	13,1		
<input type="checkbox"/>	35	10,5	8,12	233,0	117,2	13,0		
<input type="checkbox"/>	36	10,3	8,09	232,0	112,8	12,6		
<input type="checkbox"/>	37	10,3	8,07	232,0	112,9	12,7		



Relevé phytoplanctonique en plan d'eau v.3.3.1
DONNEES GENERALES PLAN D'EAU - STATION Septembre 2009

Plan d'eau :	Retenue du Sautet	Date :	06/08/2015
Nom station :	Point profond	Code station :	W22-4003
Organisme / opérateur :	GREBE / E. Bourgeot - H. Grenier	Réf. dossier :	AERMCEPE

LOCALISATION PLAN D'EAU																																		
<table border="1"> <tr> <td>Commune :</td> <td colspan="4">Corps (38)</td> </tr> <tr> <td>Plan d'eau marnant :</td> <td>oui</td> <td>Superficie du bassin versant :</td> <td>1000</td> <td>km²</td> </tr> <tr> <td>HER :</td> <td>5 – Jura - Préalpes du nord</td> <td>Superficie du plan d'eau :</td> <td>3,17</td> <td>km²</td> </tr> <tr> <td>Profondeur maximale théorique :</td> <td>115</td> <td>m</td> <td>Profondeur moyenne :</td> <td>m</td> </tr> <tr> <td>Carte :</td> <td colspan="4">  </td> </tr> <tr> <td>(extrait IGN 1/25 000 ème)</td> <td colspan="4"></td> </tr> </table>					Commune :	Corps (38)				Plan d'eau marnant :	oui	Superficie du bassin versant :	1000	km ²	HER :	5 – Jura - Préalpes du nord	Superficie du plan d'eau :	3,17	km ²	Profondeur maximale théorique :	115	m	Profondeur moyenne :	m	Carte :					(extrait IGN 1/25 000 ème)				
Commune :	Corps (38)																																	
Plan d'eau marnant :	oui	Superficie du bassin versant :	1000	km ²																														
HER :	5 – Jura - Préalpes du nord	Superficie du plan d'eau :	3,17	km ²																														
Profondeur maximale théorique :	115	m	Profondeur moyenne :	m																														
Carte :																																		
(extrait IGN 1/25 000 ème)																																		

LOCALISATION STATION																																												
<table border="1"> <thead> <tr> <th>Coordonnées du point :</th> <th>relevées sur :</th> <th colspan="3">GPS</th> </tr> <tr> <th>Lambert 93 (système français) :</th> <th>(en m)</th> <th>X</th> <th>Y</th> <th>Altitude</th> </tr> </thead> <tbody> <tr> <td></td> <td></td> <td>930454</td> <td>6417225</td> <td>788</td> </tr> <tr> <th>WGS 84 (système international) :</th> <td>données GPS (en dms)</td> <td>N</td> <td></td> <td>Altitude (m)</td> </tr> <tr> <td>Profondeur :</td> <td>48,0</td> <td>m</td> <td></td> <td></td> </tr> <tr> <td>Photos du site :</td> <td colspan="4">  </td> </tr> <tr> <td>(indiquer l'angle de prise de vue sur la carte)</td> <td colspan="4"></td> </tr> <tr> <td>Remarques et observations :</td> <td colspan="4"> <p>Profondeur = Profondeur maximale mesurée le jour du prélèvement au niveau du point de mesure.</p> <p>Cote NGF au jour de l'intervention : 756,23 m.</p> </td> </tr> </tbody> </table>					Coordonnées du point :	relevées sur :	GPS			Lambert 93 (système français) :	(en m)	X	Y	Altitude			930454	6417225	788	WGS 84 (système international) :	données GPS (en dms)	N		Altitude (m)	Profondeur :	48,0	m			Photos du site :					(indiquer l'angle de prise de vue sur la carte)					Remarques et observations :	<p>Profondeur = Profondeur maximale mesurée le jour du prélèvement au niveau du point de mesure.</p> <p>Cote NGF au jour de l'intervention : 756,23 m.</p>			
Coordonnées du point :	relevées sur :	GPS																																										
Lambert 93 (système français) :	(en m)	X	Y	Altitude																																								
		930454	6417225	788																																								
WGS 84 (système international) :	données GPS (en dms)	N		Altitude (m)																																								
Profondeur :	48,0	m																																										
Photos du site :																																												
(indiquer l'angle de prise de vue sur la carte)																																												
Remarques et observations :	<p>Profondeur = Profondeur maximale mesurée le jour du prélèvement au niveau du point de mesure.</p> <p>Cote NGF au jour de l'intervention : 756,23 m.</p>																																											

Relevé phytoplanctonique en plan d'eau

DONNEES GENERALES PLAN D'EAU - STATION

v.3.3.1
Septembre 2009

Plan d'eau :	Retenue de Saint-Pierre-Cognet	Date :	05/08/2015
Nom station :	Point profond	Code station :	W2225003
Organisme / opérateur :	GREBE / F. Bourgeot - H. Grenier	Réf. dossier :	AERMC PE

LOCALISATION PLAN D'EAU			
Commune :	Saint-Laurent-en-Beaumont (38)		
Plan d'eau marnant :	non	Superficie du bassin versant :	km ²
HER :	5 – Jura - Préalpes du nord	Superficie du plan d'eau :	1,07 km ²
Profondeur maximale théorique :	75 m	Profondeur moyenne :	m
Carte :	(extrait IGN 1/25 000 ème)		

LOCALISATION STATION			
Coordonnées du point :	relevées sur:	GPS	
Lambert 93 (système français) :	(en m)	X	Y
		921622	6423523
WGS 84 (système international) :	données GPS (en dms)	N	Altitude (m)
Profondeur :	39 m		
Photos du site :			
Remarques et observations :	Profondeur = Profondeur maximale mesurée le jour du prélèvement au niveau du point de mesure.		

Relevé phytoplanctonique en plan d'eau

v.3.3.2
juin 2012

DONNEES GENERALES CAMPAGNE

Plan d'eau :	Retenue de Saint-Pierre-Cognet	Date :	05/08/2015
Station ou n° d'échantillon :	Point profond	Code lac :	W2225003
Organisme / opérateur :	GREBE/ R. Bourgeot - H. Grenier	Réf. dossier :	AERMC PE

STATION					
Coordonnées de la station	relevées sur :	GPS			
Lambert 93 (système français)	(en m)	X 921622	Y 6423523	Altitude (m) :	580,0
WGS 84 (système international)	données GPS (en dms)	N		Altitude (m) :	
Profondeur (m) :	39				
Conditions d'observation :	Intensité du vent :	nul			
	météo :	temps sec ensoleillé			
	Surface de l'eau :	lisse			
	Hauteur des vagues :	0 m			
	Bloom algal :	non			
Marnage :	non	niveau des eaux par rapport à la végétation de ceinture (pour les plans d'eau marnant) :	0	m	
Remarques :	Présence d'un courant de surface apparaissant au milieu de l'intervention (transport de débris végétaux).				

PRELEVEMENTS				
Heure début de relevé :	10:50	Heure de fin de relevé :	11:55	
Prélèvements réalisés :	<input checked="" type="checkbox"/> phytoplancton	Matériel employé :	<input type="checkbox"/> bouteille intégratrice	
	<input checked="" type="checkbox"/> chlorophylle		<input checked="" type="checkbox"/> bouteille Van Dorn	
	<input checked="" type="checkbox"/> eau	<input checked="" type="checkbox"/> tuyau		
	<input type="checkbox"/> sédiment	Volume filtré pour la chlorophylle (ml) :	1000	
<input type="checkbox"/> macrophytes	<input type="checkbox"/> autres, préciser :			
	<input type="checkbox"/> oligochètes	<input type="checkbox"/> Volume de Lugol ajouté pour le phytoplancton (ml) :		2
Remarques, observations :	Dépôt des échantillons d'eau au laboratoire CARSO le 05/08/2015. Prélèvements euphotiques phytoplancton/chlorophylle/macropoluants réalisés au tuyau (de 0 à 6,4 m). Prélèvements pour micropolluants euphotique et fond (37 m) réalisés à la bouteille type Van Dorn. Température de l'air : 20,7 °C - Pression atmosphérique : 940 hpa.			

Relevé phytoplanctonique en plan d'eau

v.3.3.2
juin 2012

DONNEES PHYSICO-CHIMIQUES

Plan d'eau :	Retenue de Saint-Pierre-Cognet	Date :	05/08/2015
Station ou n° d'échantillon :	Point profond	Code lac :	W2225003
Organisme / opérateur :	GREBE / F. Bourgeot - H. Grenier	Réf. dossier :	AERMC PE

TRANSPARENCE														
Secchi en m :	2,55		Zone euphotique (2,5 x Secchi) en m :		6,375									
PROFIL VERTICAL														
Moyen utilisé :	mesures in-situ à chaque prof.													
Echantillon phytoplancton ?	Prof (m)	Temp (°C)	pH	Conductivité à 25°C ($\mu\text{S.cm}^{-1}$)	O2 %	O2 mg/l	Chlorophylle µg/l	Heure						
<input checked="" type="checkbox"/> Intégré de 0 à ..														
<input type="checkbox"/>	0,1	20,0	8,26	243,0	109,2	9,9								
<input type="checkbox"/>	1	19,6	8,28	244,0	108,1	9,9								
<input type="checkbox"/>	2	18,9	8,29	245,0	108,4	10,1								
<input type="checkbox"/>	3	17,8	8,29	245,0	108,1	10,3								
<input type="checkbox"/>	4	16,5	8,26	235,0	104,9	10,2								
<input type="checkbox"/>	5	16,0	8,19	235,0	101,0	10,0								
<input type="checkbox"/>	6	15,6	8,16	234,0	98,6	9,8								
<input type="checkbox"/>	7	15,4	8,12	234,0	97,6	9,8								
<input type="checkbox"/>	8	15,2	8,10	233,0	95,9	9,6								
<input type="checkbox"/>	9	15,1	8,07	232,0	95,0	9,6								
<input type="checkbox"/>	10	15,0	8,06	232,0	94,5	9,5								
<input type="checkbox"/>	11	14,8	8,05	231,0	92,8	9,4								
<input type="checkbox"/>	12	14,7	8,04	231,0	92,0	9,3								
<input type="checkbox"/>	13	14,5	8,01	231,0	91,2	9,3								
<input type="checkbox"/>	14	14,5	8,00	231,0	90,6	9,2								
<input type="checkbox"/>	15	14,3	7,99	233,0	89,8	9,2								
<input type="checkbox"/>	16	14,2	7,98	234,0	89,6	9,2								
<input type="checkbox"/>	17	14,2	7,99	245,0	93,3	9,6								
<input type="checkbox"/>	18	14,1	8,02	246,0	93,7	9,6								
<input type="checkbox"/>	19	14,1	8,02	246,0	93,5	9,6								
<input type="checkbox"/>	20	14,0	8,02	248,0	93,8	9,7								
<input type="checkbox"/>	21	14,0	8,02	248,0	93,7	9,6								
<input type="checkbox"/>	22	14,0	8,02	248,0	93,4	9,6								
<input type="checkbox"/>	23	13,9	8,02	248,0	93,1	9,6								
<input type="checkbox"/>	24	13,9	8,01	247,0	92,9	9,6								
<input type="checkbox"/>	25	13,9	8,01	247,0	92,8	9,6								
<input type="checkbox"/>	26	13,9	8,00	247,0	92,7	9,6								
<input type="checkbox"/>	27	13,9	8,01	246,0	92,4	9,5								
<input type="checkbox"/>	28	13,9	8,01	246,0	92,2	9,5								
<input type="checkbox"/>	29	13,9	8,01	246,0	92,2	9,5								
<input type="checkbox"/>	30	13,8	8,00	245,0	91,6	9,5								
<input type="checkbox"/>	31	13,8	8,00	242,0	90,1	9,3								
<input type="checkbox"/>	32	13,7	7,98	240,0	88,9	9,2								
<input type="checkbox"/>	33	13,7	7,96	238,0	87,8	9,1								
<input type="checkbox"/>	34	13,7	7,95	238,0	87,4	9,1								
<input type="checkbox"/>	35	13,7	7,95	239,0	87,1	9,1								
<input type="checkbox"/>	36	13,6	7,94	239,0	86,5	9,0								
<input type="checkbox"/>	37	13,6	7,94	236,0	84,6	8,8								
<input type="checkbox"/>	38	13,4	7,92	237,0	79,4	8,3								

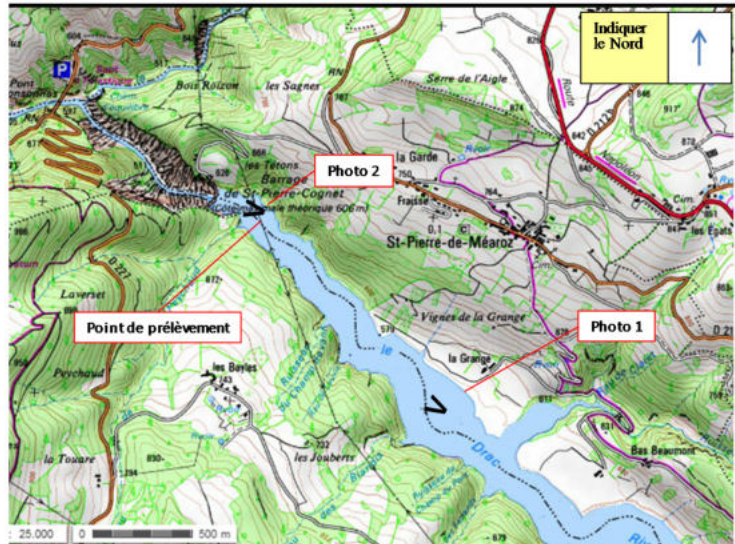
Profondeur (m)

The graph displays the following data series against depth (0 to 40m):

- Temp (°C) (Red solid line): Starts at ~20°C at 0m and increases to ~17°C at 40m.
- pH (Green solid line): Remains relatively stable around 8.0.
- O2 mg/l (Blue dashed line): Starts at ~10 mg/l at 0m and decreases to ~8 mg/l at 40m.
- O2 % (Dashed black line): Starts at ~100% at 0m and decreases to ~80% at 40m.
- Cond. (µS/cm) (Black dashed line): Starts at ~400 µS/cm at 0m and decreases to ~300 µS/cm at 40m.

Relevé phytoplanctonique en plan d'eau v.3.3.1
DONNEES GENERALES PLAN D'EAU - STATION Septembre 2009

Plan d'eau :	Retenue de Saint-Pierre-Cognet	Date :	23/09/2015
Nom station :	Point profond	Code station :	W2225003
Organisme / opérateur :	GREBE / E. Bourgent - A. Olivetto	Réf. dossier :	AERMCPE

LOCALISATION PLAN D'EAU			
Commune :	Saint-Laurent-en-Beaumont (38)		
Plan d'eau marnant :	non	Superficie du bassin versant :	km ²
HER :	5 – Jura - Préalpes du nord	Superficie du plan d'eau :	1,07 km ²
Profondeur maximale théorique :	75 m	Profondeur moyenne :	m
Carte : (extrait IGN 1/25 000 ème)			
	d'eau à TNT Grenoble le		

LOCALISATION STATION		
Coordonnées du point :	relevées sur : Lambert 93 (système français) : (en m) 921648 6423512 580 WGS 84 (système international) : données GPS (en dms) N Altitude (m) Profondeur : 37 m	GPS
Photos du site : (indiquer l'angle de prise de vue sur la carte)		
Remarques et observations :	Profondeur = Profondeur maximale mesurée le jour du prélèvement au niveau du point de mesure.. Cote NGF au jour de l'intervention : 577 m.	

Relevé phytoplanctonique en plan d'eau

v.3.3.2
juin 2012

DONNEES GENERALES CAMPAGNE

Plan d'eau :	Retenue de Saint-Pierre-Cognet	Date :	23/09/2015
Station ou n° d'échantillon :	Point profond	Code lac :	W2225003
Organisme / opérateur :	GREBE/ E. Bourgeot - A. Olivetto	Réf dossier :	AIRMC PE

SATION					
Coordonnées de la station	relevées sur :	GPS			
Lambert 93 (système français)	(en m)	X 921648	Y 6423512	Altitude (m) :	580,0
WGS 84 (système international)	données GPS (en dms)	N		Altitude (m) :	
Profondeur (m) :		37,2			
Conditions d'observation :	Intensité du vent :	fort			
	météo :	temps sec fortement nuageux			
	Surface de l'eau :	agitée			
	Hauteur des vagues :	0,15	0	m	
	Bloom algal :	non			
Marnage :	non	niveau des eaux par rapport à la végétation de ceinture (pour les plans d'eau marrant) :	0	m	
Remarques :					

PRELEVEMENTS				
Heure début de relevé :	11:00	Heure de fin de relevé :	14:30	
Prélèvements réalisés :	<input checked="" type="checkbox"/> phytoplancton	Matériel employé :	<input type="checkbox"/> bouteille intégratrice	
	<input checked="" type="checkbox"/> chlorophylle		<input checked="" type="checkbox"/> bouteille Van Dorn	
	<input checked="" type="checkbox"/> eau	<input checked="" type="checkbox"/> tuyau		
	<input checked="" type="checkbox"/> sédiment	Volume filtré pour la chlorophylle (ml) :	720	
	<input type="checkbox"/> macrophytes		<input type="checkbox"/> autres, préciser :	
	Volume de Lugol ajouté pour le phytoplancton (ml) :	2		
Remarques, observations :	<p>Dépôt des échantillons d'eau à TNT Grenoble le 23/09/2015 à 18:15 et de sédiments à la poste de La Mure à 14:30.</p> <p>Prélèvements de fond réalisés à 36 m à la bouteille type Van Dorn.</p> <p>Prélèvements euphotiques phytoplancton/chlorophylle/macropolluants réalisés au tuyau (de 0 à 2,75 m).</p> <p>Prélèvements pour micropolluants euphotique réalisés à la bouteille type Van Dorn.</p> <p>Température de l'air : 11,5 °C - Pression atmosphérique : 940 hPa.</p>			

Relevé phytoplanctonique en plan d'eau
DONNEES PHYSICO-CHIMIQUES

v.3.3.2
juin 2012

Plan d'eau :	Retenue de Saint-Pierre-Cognet	Date :	23/09/2015
Station ou n° d'échantillon :	Point profond	Code lac :	W2225003
Organisme / opérateur :	GREBE / E. Bourgeot - A. Olivetto	Réf. dossier :	AERMC PE

TRANSPARENCE														
Secchi en m :	1,1		Zone euphotique (2,5 x Secchi) en m :		2,75									
PROFIL VERTICAL														
Moyen utilisé :	mesures in-situ à chaque prof.													
Echantillon phytoplancton ?	Prof (m)	Temp (°C)	pH	Conductivité à 25°C ($\mu\text{S.cm}^{-1}$)	O ₂ %	O ₂ mg/l	Chlorophylle µg/l	Heure						
<input checked="" type="checkbox"/>	37,2													
	2,75													
<input type="checkbox"/>	0,1	15,4	8,01	237,0	96,2	9,6								
<input type="checkbox"/>	1	15,4	8,05	237,0	96,0	9,6								
<input type="checkbox"/>	2	15,1	8,05	237,0	95,2	9,6								
<input type="checkbox"/>	3	14,9	8,05	234,0	94,3	9,5								
<input type="checkbox"/>	4	14,8	8,06	233,0	93,9	9,5								
<input type="checkbox"/>	5	14,8	8,06	232,0	93,9	9,5								
<input type="checkbox"/>	6	14,7	8,07	232,0	93,8	9,5								
<input type="checkbox"/>	7	14,7	8,06	232,0	93,6	9,5								
<input type="checkbox"/>	8	14,7	8,06	232,0	93,5	9,5								
<input type="checkbox"/>	9	14,7	8,06	232,0	93,5	9,5								
<input type="checkbox"/>	10	14,7	8,06	232,0	93,4	9,5								
<input type="checkbox"/>	11	14,7	8,06	232,0	93,3	9,5								
<input type="checkbox"/>	12	14,7	8,06	233,0	93,2	9,5								
<input type="checkbox"/>	13	14,6	8,06	233,0	93,1	9,5								
<input type="checkbox"/>	14	14,6	8,07	233,0	93,1	9,5								
<input type="checkbox"/>	15	14,6	8,07	234,0	93,0	9,5								
<input type="checkbox"/>	16	14,6	8,08	234,0	93,1	9,5								
<input type="checkbox"/>	17	14,6	8,08	235,0	93,0	9,5								
<input type="checkbox"/>	18	14,6	8,08	235,0	93,0	9,5								
<input type="checkbox"/>	19	14,6	8,09	236,0	93,0	9,5								
<input type="checkbox"/>	20	14,6	8,09	239,0	93,1	9,5								
<input type="checkbox"/>	21	14,5	8,11	242,0	93,5	9,5								
<input type="checkbox"/>	22	14,5	8,11	243,0	93,4	9,5								
<input type="checkbox"/>	23	14,5	8,11	244,0	93,4	9,5								
<input type="checkbox"/>	24	14,5	8,12	244,0	93,1	9,5								
<input type="checkbox"/>	25	14,5	8,12	247,0	93,0	9,5								
<input type="checkbox"/>	26	14,4	8,12	247,0	92,7	9,5								
<input type="checkbox"/>	27	14,4	8,13	249,0	92,6	9,5								
<input type="checkbox"/>	28	14,4	8,13	250,0	92,5	9,5								
<input type="checkbox"/>	29	14,4	8,14	250,0	92,8	9,5								
<input type="checkbox"/>	30	14,4	8,15	251,0	92,9	9,5								
<input type="checkbox"/>	31	14,3	8,15	251,0	92,8	9,5								
<input type="checkbox"/>	32	14,4	8,16	252,0	92,3	9,4								
<input type="checkbox"/>	33	14,3	8,16	252,0	92,1	9,4								
<input type="checkbox"/>	34	14,3	8,15	252,0	92,0	9,4								
<input type="checkbox"/>	35	14,3	8,15	252,0	91,7	9,4								
<input type="checkbox"/>	36	14,3	8,15	253,0	90,2	9,2								
<input type="checkbox"/>	37	14,2	8,13	253,0	85,4	8,8								
<input type="checkbox"/>	38													

Profondeur (m)
Temp (°C)
pH
O₂ mg/l
Condu. (µS/cm)

0
5
10
15
20
25
30
35
40

0
50
100
150
200
250
300
350
400
450

0
2
4
6
8
10
12
14
16
18

Temp. (°C)
pH
O₂ mg/l
Condu. (µS/cm)

The graph displays the following data series against depth (0 to 40 meters):

- Temp (°C): Red solid line, decreasing from ~15.5°C at 0m to ~14.2°C at 40m.
- pH: Green solid line, constant at ~8.0.
- O₂ mg/l: Blue dashed line, decreasing from ~11.5 mg/l at 0m to ~8.8 mg/l at 40m.
- Condu. (µS/cm): Black dashed line, decreasing from ~237 at 0m to ~253 at 40m.

PRELEVEMENTS DE SEDIMENTS 2015

PLAN D'EAU :	Nom : Code :	Retenue du Sautet W22-4003	Retenue de St Pierre Cognet W222500	Grand lac de Clairvaux V2305003
Date:		24/09/2015	23/09/2015	14/09/2015
Appareil de prélèvement :	Carottier <input checked="" type="checkbox"/> Benne Ekman <input checked="" type="checkbox"/>	Carottier <input checked="" type="checkbox"/> Benne Ekman <input checked="" type="checkbox"/>	Carottier <input checked="" type="checkbox"/> Benne Ekman <input checked="" type="checkbox"/>	
Point de prélèvement :	Point profond	Point profond	Point profond	
Coordonnées GPS (Lambert 93 en m) :	x= 930455 y= 6417220 54,8	x= 921648 y= 6423512 37,2	x= 910468 y= 6611096 20	
Profondeur (m) :				
Aspect et nature des sédiments (couleur, odeur, texture (sableuse, fine), charge en débris organiques)...	Sédiments limono-argileux gris clairs	Sédiments argilo-limoneux gris foncé	Limono-argileux beige clair	

PLAN D'EAU :	Nom : Code :	Lac d'Ilay V2035003	Etang du Malsaucy U2345243	Retenue de Monteynard W2-3003
Date:		14/09/2015	16/05/2015	23/09/2015
Appareil de prélèvement :	Carottier <input checked="" type="checkbox"/> Benne Ekman <input checked="" type="checkbox"/>	Carottier <input checked="" type="checkbox"/> Benne Ekman <input checked="" type="checkbox"/>	Carottier <input checked="" type="checkbox"/> Benne Ekman <input checked="" type="checkbox"/>	
Point de prélèvement :	Point profond	Point profond	Point profond	
Coordonnées GPS (Lambert 93 en m) :	x= 921891 y= 6618497 30,4	x= 985533 y= 6738331 2	x= 912502 y= 6432266 100,4	
Profondeur (m) :				
Aspect et nature des sédiments (couleur, odeur, texture (sableuse, fine), charge en débris organiques)...	Limono-argilo-tourbeux gris-noir	Limons fins gris à gris foncés	Limono-argileux gris	

PLAN D'EAU :	Nom : Code :	Lac de Remoray U2015003	Lac de St point U2015043	
Date:		15/09/2015	15/09/2015	
Appareil de prélèvement :	Carottier <input checked="" type="checkbox"/> Benne Ekman <input checked="" type="checkbox"/>	Carottier <input checked="" type="checkbox"/> Benne Ekman <input checked="" type="checkbox"/>	<input checked="" type="checkbox"/>	
Point de prélèvement :	Point profond	Point profond		
Coordonnées GPS (Lambert 93 en m) :	x= 949116 y= 6635162 27	x= 951898 y= 6639332 40		
Profondeur (m) :				
Aspect et nature des sédiments (couleur, odeur, texture (sableuse, fine), charge en débris organiques)...	Tourbo-limoneux beige clairs à gris foncés	Limono-argilo-tourbeux beige à gris foncés		

Annexe 4
Rapport d'analyse phytoplancton



Rapport d'analyse Phytoplancton

définitif

provisoire

Édité le : 07/01/2016

Page 1/5

Agence de l'Eau Rhône-Méditerranée Corse
A l'attention de Mr Loïc IMBERT
2-4 allée de Lodz
69363 Lyon cedex 07

RAPPORT n° : PHYTO.26/04-2015

Dossier : Surveillance de la qualité des plans d'eau du nord du bassin Rhône Méditerranée
Lot n°1

Station : SAINT-PIERRE-COGNET-W2225003

Prélèvements : Effectués par GREBE (F. Bourgeot)
Date : 15/04/2015 ; 03/06/2015 ; 05/08/2015 ; 24/09/2015

Déterminations réalisées par : Bianca Touchart

Objet soumis à l'analyse : phytoplancton

Résultats : Inventaires réalisés sous Phytobs version 2.2

Paramètre	Unité	Méthode	Accrédité
Prélèvement Phytoplancton	-	Protocole standardisé plan d'eau, Irstea, V3, déc. 2009	
Analys Phytoplancton	-	Utermöhl NF EN 15204	✓

Le rapport établi ne concerne que les échantillons soumis à l'essai.
La reproduction de ce rapport d'analyse n'est autorisée que sous sa forme intégrale.

Un rapport provisoire n'est pas signé et seul l'exemplaire définitif signé a une valeur contractuelle.

Ce rapport d'analyses transmis par courrier électronique ou sur support informatique n'a pas de valeur contractuelle.
Seule la version originale « format papier » de ce rapport d'analyses définitif signé fait foi.

Signataire des rapports d'analyse Phytoplancton
Bianca Touchart



GROUPE DE RECHERCHE ET D'ETUDE BIOLOGIE ET ENVIRONNEMENT
SIEGE SOCIAL : 23 RUE SAINT MICHEL - F69007 LYON - France - TEL : 04 72 7103 79 - FAX : 04 72 72 06 12
SARL AU CAPITAL DE 50.000€ RCS LYON B 329 391965 - SIRET 329 391965 00038 - CODE APE 731Z
ENR.78 - version 4 - Date d'application : 24/11/15 - Page 1/1

Listes floristiques

1^{ère} campagne : 15/04/2015

Nom taxon	Code taxon	Classe	Code Sandre	Cf.	Type Compté	Nombre compté	Biovolume mm ³ /l	Nombre Cellules/ml
Chlamydomonas	CHLSPX	CHLOROPHYCEAE	6016	Cel.	8	0,01089	9,82222	
Chlorophycées flagellées indéterminées diam 5 - 10 µm	INDFL5	CHLOROPHYCEAE	20154	Cel.	4	0,00255	4,91111	
Chroococcus	CHRSPX	CYANOPHYCEAE	6355	Cel.	8	0,00329	9,82222	
Chrysococcus	CHSSPX	CHRYSPHYCEAE	9570	Cel.				
Coenochloris pyrenoidosa	COOPYR	CHLOROPHYCEAE	5620	Cf.	Cel.	8	0,00014	9,82222
Cryptomonas	CRYSPX	CRYPTOPHYCEAE	6269	Cel.	2	0,00435	2,45555	
Diatoma	DIASPX	FRAGILARIOPHYCEAE	6627	Cel.	1	0,00129	1,22778	
Diatomées centriques (5 µm)	NEW011	COSCINODISCPHYCEAE	31228	Cel.	2	0,00016	2,45555	
Diatomées centriques indéterminées <10 µm	INDCE5	COSCINODISCPHYCEAE	31228	Cel.				
Dictyosphaerium (environ 2µm)	NEW062	CHLOROPHYCEAE	5645	Cel.	14	0,00007	17,18888	
Erkenia subaequiciliata	ERKSUB	COCCOLITHOPHYCEAE	6149	Cel.	1	0,00006	1,22778	
Euglena	EUGSPX	EUGLENOPHYCEAE	6479	Cel.	1	0,00730	1,22778	
Fragilaria sp. >100µm	NEW001	FRAGILARIOPHYCEAE	9533	Cel.				
Gymnodinium	GYMSPX	DINOPHYCEAE	4925	Cel.	15	0,02394	18,41665	
Kephryion	KEPSPX	CHRYSPHYCEAE	6150	Cel.	4	0,00031	4,91111	
Plagioselmis nannoplantica	PLGNAN	CRYPTOPHYCEAE	9634	Cel.	368	0,03163	451,82187	
Rhodomonas lens	RHDLEN	CRYPTOPHYCEAE	24459	Cel.	28	0,00791	34,37775	
Tetraselmis	TESSPX	CHLORODENDROPHYCEAE	5023	Cel.	1	0,00150	1,22778	

Commentaires : Beaucoup de matière en suspension. Présence de *Stelexomonas dichotoma* (protozoaire).

2^{ème} campagne : 03/06/2015

Nom taxon	Code taxon	Classe	Code Sandre	Cf.	Type Compté	Nombre compté	Biovolume mm ³ /l	Nombre Cellules/ml
Chlamydomonas	CHLSPX	CHLOROPHYCEAE	6016		Cel.			
Chlorophycées flagellées indéterminées diam > 10 µm	INDF10	CHLOROPHYCEAE	20152		Cel.	1	0,00215	1,21811
Chlorophycées unicellulaires < 5µm	NEW165	CHLOROPHYCEAE	20155		Cel.	3	0,00003	3,65433
Chlorophycées unicellulaires 5-10 µm	NEW159	CHLOROPHYCEAE	20155		Cel.	1	0,00027	1,21811
Chrysococcus	CHSSPX	CHRYSTOPHYCEAE	9570		Cel.			
Coenochloris pyrenoidosa	COPYR	CHLOROPHYCEAE	5620	Cf.	Cel.	32	0,00055	38,97950
Cryptomonas	CRYSPX	CRYPTOPHYCEAE	6269		Cel.	2	0,00432	2,43622
Diatomées centriques (5 µm)	NEW011	COSCINODISCOPHYCEAE	31228		Cel.	24	0,00196	29,23463
Diatomées centriques indéterminées <10 µm	INDCE5	COSCINODISCOPHYCEAE	31228		Cel.	17	0,00228	20,70786
Diatomées pennées indéterminées	INDPEN	COSCINODISCOPHYCEAE	20161		Cel.	2	0,00127	2,43622
Dinobryon divergens	DINDIV	CHRYSTOPHYCEAE	6130		Cel.	4	0,00102	4,87244
Dinobryon sociale	DINSOC	CHRYSTOPHYCEAE	6136		Cel.			
Erkenia subaequiciliata	ERKSUB	COCCOLITHOPHYCEAE	6149		Cel.	252	0,01381	306,96356
Eunotia	EUNSPX	BACILLARIOPHYCEAE	7569		Cel.			
Goniomonas truncata	NEW149	CRYPTOPHYCEAE	35416	Cf.	Cel.	10	0,00252	12,18109
Gymnodinium	GYMSPX	DINOPHYCEAE	4925		Cel.	2	0,00317	2,43622
Kephyrion	KEPSPX	CHRYSTOPHYCEAE	6150		Cel.	22	0,00169	26,79841
Nitzschia	NIZSPX	BACILLARIOPHYCEAE	9804		Cel.			
Plagioselmis nannoplanctica	PLGNAN	CRYPTOPHYCEAE	9634		Cel.	114	0,00972	138,86447
Rhodomonas lens	RHDLEN	CRYPTOPHYCEAE	24459		Cel.	7	0,00196	8,52677

Commentaires : Présence de *Stelixomonas dichotoma* (protozoaire).

3^{ème} campagne : 05/08/2015

Nom taxon	Code taxon	Classe	Code Sandre	Cf.	Type Compté	Nombre compté	Biovolume mm ³ /l	Nombre Cellules/ml
Asterionella formosa	ASTFOR	FRAGILARIOPHYCEAE	4860		Col.			
Ceratium hirundinella	CERHIR	DINOPHYCEAE	6553		Cel.			
Chlorophycées flagellées indéterminées diam 5 - 10 µm	INDFL5	CHLOROPHYCEAE	20154		Cel.			
Chlorophycées unicellulaires < 5µm	NEW165	CHLOROPHYCEAE	20155	Cel.	312	0,02433	3041,81880	
Chlorophycées unicellulaires 5-10 µm	NEW159	CHLOROPHYCEAE	20155	Cel.	1	0,00215	9,74942	
Chromulina skuae	NEW169	CHRYSOPHYCEAE	38209	Cf.	Cel.	1	0,00027	9,74942
Cryptomonas	CRYSPX	CRYPTOPHYCEAE	6269		Cel.			
Diatomées centriques indeterminées > 10 µm	NEW045	COSCINODISCPHYCEAE	20160	Cel.	3	0,02688	29,24826	
Diatomées centriques (5 µm)	NEW011	COSCINODISCPHYCEAE	31228	Cel.	10	0,00653	97,49419	
Diatomées centriques indeterminées <10 µm	INDCE5	COSCINODISCPHYCEAE	31228	Cel.	5	0,00536	48,74710	
Didymocystis fina	DIDFIN	TREBOUXIOPHYCEAE	9193	Cel.	2	0,00027	19,49884	
Dinobryon divergens	DINDIV	CHRYSOPHYCEAE	6130	Cel.	3	0,00611	29,24826	
Dinobryon sociale	DINSOC	CHRYSOPHYCEAE	6136	Cel.	25	0,02291	243,73549	
Erkenia subaequiciliata	ERKSUB	COCCOLITHOPHYCEAE	6149	Cel.	5	0,00219	48,74710	
Euglena	EUGSPX	EUGLENOPHYCEAE	6479		Cel.			
Fragilaria sp. <100µm	NEW002	FRAGILARIOPHYCEAE	9533		Cel.			
Fragilaria sp. >100µm	NEW001	FRAGILARIOPHYCEAE	9533	Cel.	1	0,00188	9,74942	
Goniomonas truncata	NEW149	CRYPTOPHYCEAE	35416	Cf.	Cel.	2	0,00404	19,49884
Kephryion	KEPSPX	CHRYSOPHYCEAE	6150	Cel.	1	0,00061	9,74942	
Nitzschia	NIZSPX	BACILLARIOPHYCEAE	9804	Cel.	2	0,01560	19,49884	
Nitzschia acicularis	NIZACI	BACILLARIOPHYCEAE	8809		Cel.			
Peridinium	PERSPX	DINOPHYCEAE	6577		Cel.			
Plagioselmis nannoplantica	PLGNAN	CRYPTOPHYCEAE	9634	Cel.	53	0,03617	516,71924	
Rhodomonas lens	RHDLLEN	CRYPTOPHYCEAE	24459	Cel.	3	0,00673	29,24826	

4^{ème} campagne : 23/09/2015

Nom taxon	Code taxon	Classe	Code Sandre	Cf.	Type Compté	Nombre compté	Biovolume mm ³ /l	Nombre Cellules/ml
Achnanthidium delmontii	ACDDEL	BACILLARIOPHYCEAE	33829	Cel.	1	0,00011	0,98222	
Ankyra judayi	ANYJUD	CHLOROPHYCEAE	5596	Cel.	2	0,00021	1,96444	
Chlorophycées unicellulaires < 5µm	NEW165	CHLOROPHYCEAE	20155	Cel.	26	0,00020	25,53776	
Chroomonas coerulea	CHMCOE	CRYPTOPHYCEAE	9625	Cf.	4	0,00078	3,92889	
Cryptomonas	CRYSPX	CRYPTOPHYCEAE	6269	Cel.	7	0,01218	6,87555	
Cyclotella costei	CYCCOS	COSCINODISCOPHYCEAE	8615	Cel.	28	0,00701	27,50220	
Cyclotella delicatula	CYCDEL	COSCINODISCOPHYCEAE	12414	Cel.	4	0,00100	3,92889	
Desmodesmus costato-granulatus	DEDCOG	CHLOROPHYCEAE	31932	Cel.	2	0,00004	1,96444	
Didymocystis fina	DIDFIN	TREBOUXIOPHYCEAE	9193	Cel.	6	0,00008	5,89333	
Didymocystis planctonica	DIDPLA	TREBOUXIOPHYCEAE	25668	Cel.	2	0,00018	1,96444	
Dinobryon divergens	DINDIV	CHRYSOPHYCEAE	6130	Cel.	35	0,00718	34,37775	
Dinobryon elegantissimum	DINELE	CHRYSOPHYCEAE	6131	Cel.	5	0,00027	4,91111	
Dinobryon sertularia	DINSER	CHRYSOPHYCEAE	6134	Cel.	4	0,00058	3,92889	
Dinobryon sociale	DINSOC	CHRYSOPHYCEAE	6136	Cel.	5	0,00046	4,91111	
Discostella stelligera	DISSTE	COSCINODISCOPHYCEAE	8657	Cel.	3	0,00088	2,94666	
Fragilaria	FRASPX	FRAGILARIOPHYCEAE	9533	Cel.	37	0,08798	36,34220	
Kephryion	KEPSPX	CHRYSOPHYCEAE	6150	Cel.	1	0,00006	0,98222	
Kirchneriella	KIRSPX	CHLOROPHYCEAE	4755	Cel.	1	0,00016	0,98222	
Nitzschia	NIZSPX	BACILLARIOPHYCEAE	9804	Cel.	2	0,00157	1,96444	
Nitzschia acicularis	NIZACI	BACILLARIOPHYCEAE	8809	Cel.	3	0,00086	2,94666	
Peridinium	PERSPX	DINOPHYCEAE	6577	Cel.	2	0,01807	1,96444	
Plagioselmis nannoplantica	PLGNAN	CRYPTOPHYCEAE	9634	Cel.	218	0,01499	214,12428	
Puncticulata radiosa	PUNRAD	COSCINODISCOPHYCEAE	8731	Cel.	34	0,03343	33,39553	
Rhodomonas lens	RHDLEN	CRYPTOPHYCEAE	24459	Cel.	2	0,00045	1,96444	
Stephanodiscus alpinus	STEALP	COSCINODISCOPHYCEAE	8738	Cel.	16	0,01414	15,71554	
Trachelomonas	TRASPX	EUGLENOPHYCEAE	6527	Cel.				
Ulnaria ulna	ULNULN	FRAGILARIOPHYCEAE	6849	Cel.	4	0,01856	3,92889	

Commentaires : Beaucoup de matière en suspension.

Annexe 5
Rapport d'analyse oligochètes



Rapport d'analyse IOBL

définitif

provisoire

Page 1/4

Édité le :

Agence de l'Eau Rhône Méditerranée Corse
A l'attention de M Loïc IMBERT
2-4 allée de Lodz
69363 Cedex 07

Le rapport établi ne concerne que les échantillons soumis à l'essai.

La reproduction de ce rapport d'analyse n'est autorisée que sous sa forme intégrale.

Un rapport provisoire n'est pas signé et seul l'exemplaire définitif signé a une valeur contractuelle.

Ce rapport d'analyses *transmis par courrier électronique ou sur un support informatique* n'a pas de valeur contractuelle.
Seule la version originale « format papier » de ce rapport d'analyses définitif signé fait foi.

Les analyses ci-dessous ont été réalisées par le GREBE, laboratoire agréé pour le paramètre IOBL par le Ministère en charge de l'Environnement dans les conditions de l'arrêté du 27 octobre 2011.

RAPPORT n° : IOBL.01/05-2015

Dossier : PE AERMC 2015 / IOBL

Plan d'eau : Retenue de Saint Pierre de Cognet / W222500

Prélèvements : Effectués par GREBE (François BOURGEOT) selon la norme IOBL NF T 90-391 (Mars 2005)
Date : 04 juin 2015

Objet soumis à l'analyse : macro-invertébrés benthiques (oligochètes)

RESULTATS : Détermination de l'indice oligochètes de bioindication lacustre – Norme NF T 90-391 (Mars 2005)

Déterminations réalisées par : Emmanuel MICHAUT

Les résultats sont présentés ci-après :

- fiche de prélèvement,
- localisation des prélèvements (extrait de carte IGN ou croquis),
- listes faunistiques et notes IOBL,
- éléments complémentaires.

Technicien(ne) en charge des analyses oligochètes



Accréditation Cofrac
N° 1-1313

Portée disponible
sur www.cofrac.fr

GROUPE DE RECHERCHE ET D'ETUDE BIOLOGIE ET ENVIRONNEMENT
SIEGE SOCIAL : 23 RUE SAINT MICHEL – F 69007 LYON – France – TEL : 04.72.71.03.79 – FAX : 04.72.72.06.12
SAS AU CAPITAL DE 100.000 € - RCS LYON B 329 391 965 – SIRET 329 391 965 00038 – CODE APE 7312

ENR.59 – version 6 – Date d'application : 24/10/2014 – Page 1/1

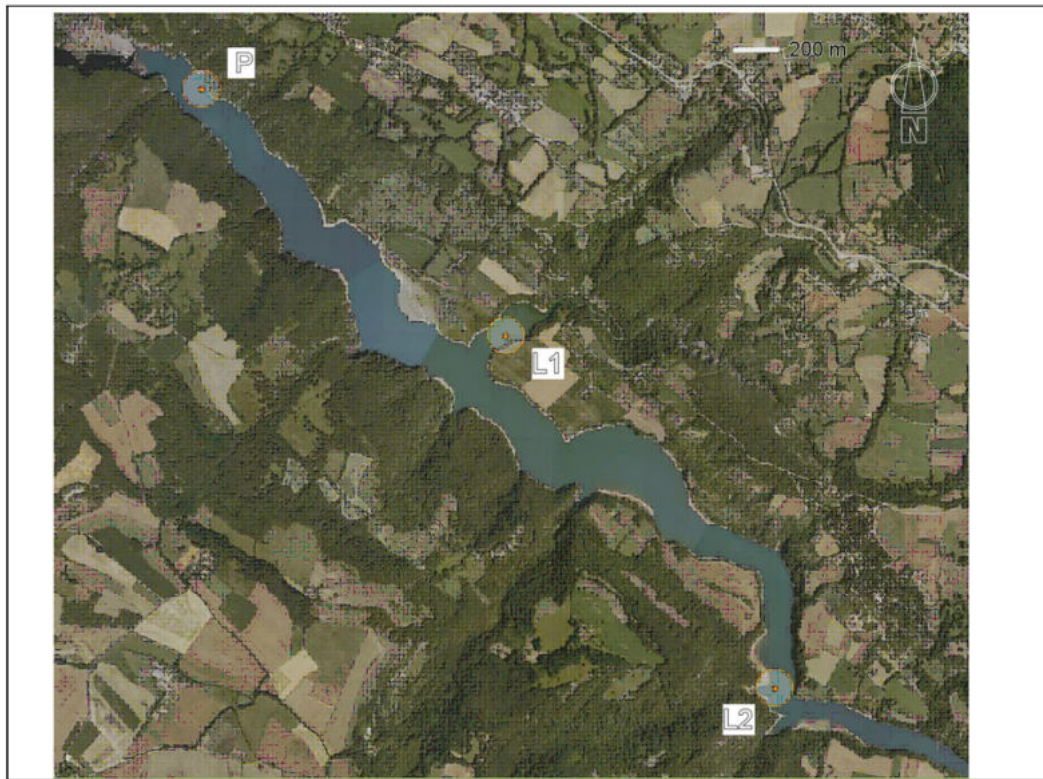
GREBE	Fiche de prélèvement IOBL	Référence: FNR54 Version: 1 Date d'application: 24/10/2014 Page: VI
--------------	----------------------------------	---

Plan d'eau : **Retenue de Saint Pierre de Cognet**
 Date de prélèvement : 03-juin-15 Heure : 14:00
 Caractéristiques : **Artificiel**
 Superficie : 1,07 km²
 Prof. Max. : 38m
 Conditions de prélèvements : **difficiles**

Prélèvements :

Appareil de prélèvement	Carotier <input type="checkbox"/>	Benne Ekman <input checked="" type="checkbox"/>	
Echantillons	P	L1	L2
Coordonnées GPS (Lambert 93 en m) :	X: 921676 Y: 6423525	X: 923034 Y: 6422501	X: 924259 Y: 6421011
Profondeur (m) :	38	20	19,6
Nombre de prélèvements :	3	3	3
Surface échantillonnée (m ³) :	0,0675	0,0675	0,0675
Aspect et nature des sédiments (couleur, odeur, texture (sableuse, fine), charge en débris organiques)	argilo limoneux gris	argilo limoneux gris brun	argilo limoneux gris brun & quelques DOG
Nature des débris végétaux (grossiers, fins, feuilles, aiguilles de conifères)	-	-	-
Odeurs	-	-	-
Elutriation	non	non	non
Tamisage sur le terrain	oui	oui	oui

Localisations des prélèvements



Commentaires (conditions de prélèvement, éléments remarquables, mamage,...) : vent assez fort, houle moyenne. Difficulté de trouver des sédiments fins à la profondeur adéquate.

Liste faunistique Oligochètes (les valeurs indiquent une densité pour 0,1 m²)

		Plan d'eau				
		Date				
		P	L1	L2		
		profondeur (m)	38	20	19,6	
Taxons		Code Sandre				
Naididae						
Tubificinae avec soies capillaires	<i>Immatures</i> <i>Aulodrilus pluriseta</i> <i>Potamothrix vejvodskyi</i> <i>Psammoryctides barbatus*</i> <i>Tubifex tubifex</i>	TUBC AUPL POVE PSBA TBTU	5231 19316 9835 2988 946	1569 71 1141 392 214	109 0 123 0 0	106 19 370 0 0
sous-total (%)				86	97	93
Tubificinae sans soies capillaires	<i>Immatures</i> <i>Limnodrilus hoffmeisteri</i> <i>Limnodrilus udekemianus</i>	TUSS LIHO LIUD	5230 2991 2989	250 36 0	7 0 0	29 0 5
sous-total (%)				7	3	6
Naidinae	<i>Vejdoskyella intermedia*</i>	VEIN	19315	71 2	0 0	0 0
sous-total (%)						
Lumbriculidae	<i>Stylodrilus heringianus*</i> <i>Stylodrilus lemani*</i>	STHE STLE	2980 19302	178 0	0 0	0 5
sous-total (%)				5	0	1
		Densité totale (D) (pour 0,1 m ²)		3922	239	534

Calcul IOBL					
Nombre d'espèces (S)		7	3	6	
IOBL = S+3log10(D+1)		17,8	10,1	14,2	
Pourcentage d'espèces sensibles par point		16,3	0	0,9	
Pourcentage d'espèces sensibles rapporté à la densité globale du PE		13,7	0	0,1	
Indice IOBL Total ⁽¹⁾		15,0			

* Espèces sensibles à la pollution dans les sédiments lacustres profonds.

⁽¹⁾ : Paramètre non couvert par l'accréditation (non mentionné par la Norme IOBL NF T90-391 (mars 2005)), mais utilisé dans le calcul de l'indice oligochètes IOL de la diagnose rapide des plans d'eau du CEMAGREF version Juillet 2003.
-1 point profond P1 et 1 point en profondeur intermédiaire P2 : IOBL total = 1/2 (IOBL P1 + IOBL P2)
-1 point profond P1 et 2 points en profondeur intermédiaire P2 et P3 : IOBL total = 1/2 IOBL P1 + 1/4 IOBL P2 + 1/4 IOBL P3

Point de prélèvement	P	L1	L2
Oligochètes			
Abondance dans l'échantillon	2647	161	360
Nombre d'oligochètes déterminés	110	103	111
Faune associée	Chironomidae Pisidium Mermithidae	Chironomidae Pisidium Mermithidae	Chironomidae Pisidium
Eléments complémentaires (laboratoire)			
Elutriation (oui/non)	non	non	non
Maille de tamisage (en mm)	0,5	0,5	0,5
Colmatage du tamis	faible	nul	faible
Sous-échantillonnage	1/16	2/3	1/2
Structure des sédiments à la loupe binoculaire après tamisage	débris végétaux	débris & fibres végétales	débris végétaux
Autres (présence de colonies bactériennes, d'algues...)	-	-	-